

Федеральное государственное автономное  
образовательное учреждение  
высшего образования  
**«СИБИРСКИЙ ФЕДЕРАЛЬНЫЙ УНИВЕРСИТЕТ»**

Политехнический институт

Кафедра «Робототехника и техническая кибернетика»

УТВЕРЖДАЮ  
Заведующий кафедрой  
\_\_\_\_\_ А.Н. Сочнев  
подпись  
«\_\_\_\_\_» \_\_\_\_\_ 2019 г.

## МАГИСТЕРСКАЯ ДИССЕРТАЦИЯ

Разработка и исследование систем приводов и ЧПУ

15.04.06 Мехатроника и робототехника

15.04.06.01 Технологии автоматизации и роботизации производства

Руководитель

\_\_\_\_\_

подпись, дата

Г.Б. Масальский

должность, учёная степень

Выпускник

\_\_\_\_\_

подпись, дата

Е.В. Русалеев

Рецензент

\_\_\_\_\_

подпись, дата

А.А. Голуб

должность, учёная степень

Красноярск 2019

MP – 15.03.06 ПЗ

Лист

1

Изм.	Лист	№ докум.	Подпись	Дата

Продолжение титульного листа БР по теме «Разработка и исследование систем приводов и ЧПУ»

Консультанты по разделам:

Модель бега с тренажёром как объект управления

В.И. Груzenkin

подпись, дата

Нормоконтролёр

В.Н. Куликова

подпись, дата

Изм.	Лист	№ докум.	Подпись	Дата

MP – 15.03.06 ПЗ

Лист  
2

Федеральное государственное автономное  
образовательное учреждение  
высшего образования  
«СИБИРСКИЙ ФЕДЕРАЛЬНЫЙ УНИВЕРСИТЕТ»

Политехнический институт

Кафедра «Робототехника и техническая кибернетика»

УТВЕРЖДАЮ  
Заведующий кафедрой

\_\_\_\_\_ А.Н. Сочнев  
подпись

« \_\_\_\_\_ » \_\_\_\_\_ 2019 г.

## ЗАДАНИЕ

### НА ВЫПУСКНУЮ КВАЛИФИКАЦИОННУЮ РАБОТУ

в форме магистерской диссертации

Инд. № подл	Подпись и дата	Взам. подл №	Инд. № дипл.	Подпись и дата	Лерф. приложен

Инд. № подл	Подпись и дата	Взам. подл №	Инд. № дипл.	Подпись и дата	Лерф. приложен

Изм.	Лист	№ докум.	Подпись	Дата	Лист	3
					MP – 15.03.06 л3	

Студенту Русалееву Евгению Владимировичу

Группа ФЭ17-10М Направление подготовки 15.04.06 «Мехатроника и робототехника» магистерская программа 15.04.06.01 «Технологии автоматизации и роботизации производства».

Тема выпускной квалификационной работы «Разработка и исследование систем приводов и ЧПУ»

Утверждена приказом по университету 15948/С от 3.11.2017

Руководитель ВКР Г.Б. Масальский, канд. техн. наук, доцент., каф. РиТК

Исходные данные для ВКР:

Описание принципа действия тренажёра и необходимых параметров.

Перечень разделов ВКР:

Глава 1. Анализ объекта управления

Глава 2. Технические средства

Глава 3. Исследование модели сервопривода

Глава 4. Разработка программы для взаимодействия с пользователем

Глава 5. Экономический расчет

Глава 6. Техника безопасности

Глава 7. Руководство по эксплуатации

Руководитель ВКР

Масальский Г. Б.

Задание принял к исполнению

Русалеев Е.В.

« \_\_\_\_ » \_\_\_\_\_ 2019 г.

MP – 15.03.06 ПЗ

Лист

4

Изм.	Лист	№ докум.	Подпись	Дата

## РЕФЕРАТ

Выпускная квалификационная работа по теме «Разработка и исследование систем приводов и ЧПУ» содержит 72 страницы текстового документа, 14 использованных источников.

СЕРВОСИСТЕМА, СЕРВОПРИВОД, МИКРОКОНТРОЛЛЕР, ПРОГРАММИРОВАНИЕ МИКРОКОНТРОЛЛЕРОВ, STM32, СЕРВОСИСТЕМА YASKAWA SERVOPACK SGDM-04ADA-R, AC SERVO MOTOR SGMAH-04AAA21, УПРАВЛЕНИЕ СЕРВОСИСТЕМОЙ, СИСТЕМЫ ЧПУ, ЭНКОДЕР, ГРАФИЧЕСКИЙ ИНТЕРФЕЙС НА STM32F7.

Цель проекта:

- разработка пилотного проекта тренажера спринтерского бега на основе современных систем ЧПУ.

Задачи:

- описание проблемы спринтерских тренировок;
- рассмотрение системы человек + тренажер;
- проектирование бегового тренажера;
- подбор технических средств;
- настройка сервосистемы;
- написание программы микроконтроллера для обработки сигналов управления и состояния системы;
- составление графического интерфейса взаимодействия с пользователем;
- организация связи между сервосистемой и микроконтроллером;
- тестирование тренажера.

Инф. № подл.	Подпись и дата	Безм. инф. №	Инф. № файл	Подпись и дата	Подпись и дата	Лист
Изм.	Лист	№ докум.	Подпись	Дата	MP – 15.03.06 л3	5

# СОДЕРЖАНИЕ

Изд. № подл.	Подпись и дата	Взам. инф. №	Изд. № избл.	Подпись и дата	Подпись и дата	Год/ приложен.
СОДЕРЖАНИЕ						
ВВЕДЕНИЕ.....						8
1 Анализ объекта управления .....						13
1.1 Модель бега с тренажёром как объект управления .....						13
1.2 Требования к тренажёру .....						16
1.3 Расчет характеристик тренажёра .....						17
1.4 Структура системы .....						19
1.1 Внешний вид тренажёра .....						20
2 Технические средства .....						22
2.1 Серводвигатель .....						22
2.2 Сервосистема.....						26
2.2.1 Управление моментом .....						35
2.3 Микроконтроллер .....						37
2.4 Промежуточные звенья системы .....						42
2.4.2 Операционный усилитель .....						42
2.4.3 Преобразователь дифференциальных сигналов .....						44
2.4.4 Источник постоянного напряжения .....						47
2.4.5 Понижающий преобразователь постоянного напряжения .....						48
2.5 Схема соединения узлов системы.....						49
3 Результат работы модели сервопривода в MATLAB .....						50
4 Разработка программы для взаимодействия с пользователем .....						52
4.1 Библиотека HAL .....						52
4.2 Обработка сигналов состояния .....						54
4.3 Генерация сигналов управления .....						57
4.4 Библиотека emWin.....						58
4.5 Интерфейс LTDC .....						59
4.6 Графический интерфейс.....						60
5 Экономический расчёт.....						61
5.1 Расчет затрат стоимости материалов.....						62

MP – 15.03.06 л3

Лист

6

Изм.	Лист	№ докум.	Подпись	Дата

<i>Герб применен</i>	5.2 Расчет затрат электроэнергии на технологические цели.....	63
	5.3 Расчет оплаты труда .....	63
	5.4 Отчисления на социальные нужды .....	64
	5.5 Амортизационные отчисления .....	64
	5.6 Прочие расходы .....	65
	5.7 Общая стоимость .....	65
	6 Техника безопасности.....	66
	7 Руководство по эксплуатации.....	67
	<b>ЗАКЛЮЧЕНИЕ .....</b>	<b>70</b>
	<b>СПИСОК ИСПОЛЬЗОВАННЫХ ИСТОЧНИКОВ .....</b>	<b>71</b>
	<b>ПРИЛОЖЕНИЕ А .....</b>	<b>73</b>

Инд. № подп.	Подпись и дата		Инд. № подп №	Подпись и дата
	Подпись	Инд. № подп №		

Изм.	Лист	№ докум.	Подпись	Дата
------	------	----------	---------	------

MP – 15.03.06 ПЗ

Лист
7

## ВВЕДЕНИЕ

История спорта – это тысячелетия состязаний, в которых всегда выделялся бег и в беге быстрейший человек. Интерес к спринтерскому бегу, к определению самого быстрого бегуна планеты был, есть и будет огромен. Эта – одна из главных, важных и необходимых для выживания возможностей человека в прошлом традиционно интересует почти всех и сегодня.

Методики развития быстрого бега востребованы во многих видах спорта, таких, например, как футбол, баскетбол, гандбол, регби. Мировой рекорд в беге на 100 метров, который установил в 2012 году Усейн Болт – 9,58 секунд – лучшее достижение современной цивилизации, и оно является той целью, к которой стремятся все, занимающиеся спринтом.

Все, кто занимается спринтом, в том числе и Усейн Болт, сталкивались на вершине своих достижений, с явлением, которое называют «скоростной барьер». Это явление наступает в разном возрасте, примерно через 6-8 лет специальных тренировок в спринтерском беге и заключается в том, что максимальная скорость бега у спортсмена перестаёт повышаться [3]. Вопрос преодоления скоростного барьера является одним из самых актуальных в теории и методике развития беговых качеств.

В этом случае начинают использовать такие приёмы как бег с применением динамического срыва (бег с сопротивлением и мгновенным сбросом сопротивления), бег в облегченных условиях (скоростная тяга вперёд), бег по наклонной плоскости (в гору и с горы). Попытки снизить вес бегуна в тренировочных забегах, использовать скоростную тягу вперёд, бег под уклон (менее 2 градусов уклон не увеличивает скорость бега, уклон более 3 градусов нарушает структуру бегового шага). При этом было установлено, [4] что превышение скорости бега на величину 1 м/с и более приводит к нарушению структуры бегового шага: время опоры, длина шага, горизонтальная и вертикальная составляющие силы реакции опоры, время отталкивания, углы сгиба в суставах ног. Все эти параметры являются

MP – 15.03.06 л3

лист

8

Инд. № подп.	Подпись	Дата	№ докум.	Лист	Изм.

характеристиками каждого спринтера высокой квалификации. Структура бегового шага – это уникальный набор параметров, соответствующий каждому отдельному человеку.

По факту – практическим результатам – можно уверенно сказать, что все перечисленные приёмы повышения скорости бега становятся неэффективны на уровне между I разрядом и нормой кандидата в мастера спорта (от 11,4 до 10,8 сек на 100 м.).

50 лет назад использовали приём бега с тягой вперёд [3]. После исследований Ратова И.П. появилось понимание того, что не давало этому приёму эффективно воздействовать на повышение скорости бега спринтера. Нарушение структуры бегового шага не давало положительного переноса на цель тренировки – скорость бега. Сложное взаимодействие мелких и крупных групп мышц при работе с максимальной мощностью и предельной частотой движения не дают тренировочного эффекта согласованного взаимодействия всех мышечных структур. Сохранение структуры бегового шага – это обязательное условие организации тренировочного процесса в спринтерском беге, если ставится задача повысить скорость бега или получить эффект повторного бега на предельных скоростях.

В исследованиях Н.И. Лавриненко показано, что увеличение скорости бега на 1 м/с требует применения тягового усилия в 3-4 % от массы тела бегуна и что при этом нарушается структура бегового шага. Увеличение скорости бега на 0,5 м/с может производиться тяговым усилием до 2 % от массы тела бегуна и при этом структура бегового шага не нарушается. Таким образом возможность создавать модельные характеристики спринтерского бега с помощью формирования искусственной среды при сохранении структуры бегового шага даёт уверенность на положительный перенос двигательного навыка, созданного спортсменом при помощи тягового устройства и его реализации в спортивной практике.

В силу того, что тяговых устройств с управляемой силой тяги (моментом силы) до настоящего времени не использовали, можно полагать,

<p style="text-align: center;">Лист</p> <p style="text-align: center;">10</p>	<p>что именно такой подход позволит преодолевать скоростной барьер и получать стабильный эффект улучшения скоростных возможностей бегуна.</p> <p>На необходимость использования искусственно облегченных условий для совершенствования в спринтерском беге указывал и В.Н. Платонов [2]. Он писал о том, что соревнование – лучшее средство комплексного совершенствования скоростных возможностей. Но создавать соревновательную ситуацию в тренировочной практике систематически невозможно, а облегченные условия бега позволяют моделировать соревновательные и даже большие скорости в условиях рядовой тренировочной практике.</p> <p>Опираясь на практические результаты, можно говорить, что тренировки в облегченных условиях (тяга вперёд), будут способствовать появлению новых возможностей у спринтера, соответствующих тем режимам тренировки, которые ему будут созданы.</p> <p>Именно это явление наблюдается в последние 15-20 лет: доминируют в спринте люди, живущие в тепле (нет необходимости много медленно бегать) и в тренировке использующие бег средней и максимальной интенсивности. Нет беговых движений медленного темпа в большом процентном соотношении к общему количеству беговых движений.</p> <p>Практика работы в этой сфере (повышения скорости бега спортсмена) показывает, что тяга вперёд, без контроля силы тяги, не позволяет прогрессировать в спринте на уровне 10,8-10,9 секунд, [3] и не представляет никакого интереса для уровня быстрейших людей планеты.</p> <p>Таким образом, создание модельных характеристик искусственной среды для организации тренировочного процесса должно быть чётко регламентировано в каждом конкретном случае и при тяге вперёд ограничиваться увеличением максимальной скорости бега, которая в каждой конкретной пробежке обладает спортсмен, не более чем на 0,5 м/сек или учитывать, что это обеспечивается силой тяги не более 2 % от массы тела.</p>										
<p>Подпись и дата</p>	<p>МР – 15.03.06 лз</p>										
<p>Подпись и дата</p>											
<p>Инд. № подл</p>											
<table border="1" style="width: 100%; border-collapse: collapse;"> <tr> <td style="width: 20%;">Изм.</td> <td style="width: 20%;">Лист</td> <td style="width: 20%;">№ докум.</td> <td style="width: 20%;">Подпись</td> <td style="width: 20%;">Дата</td> </tr> </table>	Изм.	Лист	№ докум.	Подпись	Дата	<table border="1" style="width: 100%; border-collapse: collapse;"> <tr> <td style="width: 20%;">Изм.</td> <td style="width: 20%;">Лист</td> <td style="width: 20%;">№ докум.</td> <td style="width: 20%;">Подпись</td> <td style="width: 20%;">Дата</td> </tr> </table>	Изм.	Лист	№ докум.	Подпись	Дата
Изм.	Лист	№ докум.	Подпись	Дата							
Изм.	Лист	№ докум.	Подпись	Дата							

Рассмотрим также непрофессиональные беговые тренажёры. Несмотря на великое множество различных спортивных тренажеров, беговые продолжают оставаться, пожалуй, самыми популярными тренажерами в деле поддержания физической формы. В настоящее время существует несколько видов беговых тренажёров. Самый распространённый – беговая дорожка.

В основу работы любой беговой дорожки заложен тот же принцип вращения по кругу, что и в транспортерной ленте. Эта лента способна выдерживать большие нагрузки, для безопасности и удобства бегуна вмонтирована в устойчивую платформу, снабжена поручнями, датчиками, компьютером. Существует несколько видов беговых дорожек.

Электрические. Этот тип является самым распространенным и используется практически во всех фитнес центрах и домах. Суть работы данного тренажера заключается во включении электромотора, который и двигает дорожку. Пользователь может выбирать скорость движения полотна, а также степень наклона полотна.

Механические. Базовым отличием данного типа является приведение полотна в движение усилием самого человека. Таким образом пользователь сам разгоняет полотно и чем активнее двигается, тем активнее двигается полотно. После остановки пользователя, останавливается и полотно. На механике полотно часто двигается рывками, а отсутствие амортизации дает повышенную нагрузку на суставы.

Магнитные. По сути, представляет собой практически полный эквивалент механической беговой дорожки, но тут используется специальная система магнитов, которые контролируют движение и торможение полотна. Положительным отличием является более плавный ход, благодаря чему бегать тут удобнее. Эти дорожки тоже не требуют подключения к электросети.

Парашют для бега. Бег с парашютом применяется при тренировке спринтеров и иногда его используют бегуны на средние дистанции. Принцип его работы заключается в создании дополнительного сопротивления за счет

Изм.	Лист	№ докум.	Подпись	Дата

MP – 15.03.06 л3

Лист

11

наполнения полостей снаряда воздухом. В результате бежать становится гораздо труднее, а нагрузка на мышцы увеличивается в несколько раз.

Тренажёр, о котором говорится в данной работе, создаёт усилие, тянувшее человека вперёд с постоянным поддержанием точно заданной силы тяги. Человек бежит в направлении усилия пытаясь прочувствовать ускорение, чтобы потом воспроизвести его без тренажёра. Для связи между человеком и тянувшим устройством используется верёвка из материала, которой менее подвержен растяжению.

Для управления данным тренажёром используется сервосистема с ЧПУ, которая позволяет добиться более качественного поддержания постоянного момента на валу двигателя.

Управление сервосистемой осуществляется через пользовательский интерфейс, отображающийся на LCD-дисплее с Touch-панелью, который позволяет задавать управляющее воздействие, получать информацию о текущем состоянии объекта, собирать статистику о результатах тренировок.

LCD-дисплей с Touch-панелью подключается к микроконтроллеру, который непосредственно генерирует сигналы задания для сервосистемы, а также считывает сигналы её состояния.

Изм.	Лист	№ докум.	Подпись	Дата

МР – 15.03.06 л3

Лист

12

## 1 Анализ объекта управления

### 1.1 Модель бега с тренажёром как объект управление

Методика развития максимальной скорости бега в современной теории и методике физического воспитания занимает ведущее место. Возможности многих легкоатлетических дисциплин и многих не легкоатлетических видов спорта связаны уровнем своих достижений в скорости бега. Если рассматривать человека в контексте тренировки, то следует выделить факторы имеющие влияние на скорость бега. Представим спринтера в виде структурной схемы (рисунок 1.1).

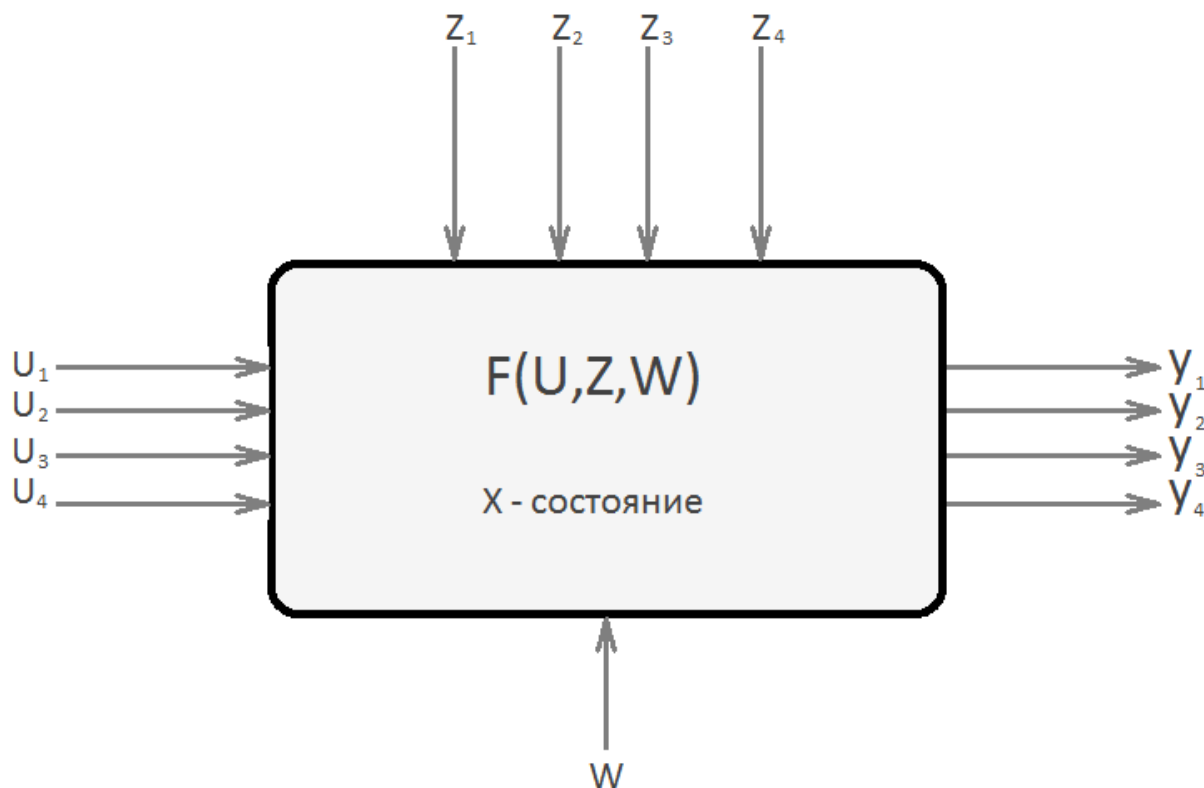


Рисунок 1.1 – Структурная схема спринтера.

Распишем подробнее воздействия, оказываемые на бегуна.

Управляющие воздействия **U**:

$u_1$  – момент тяги тренажёра, Н · м;

$u_2(t)$  – частота шагов во время бега (может меняться в времени на протяжении дистанции) , шагов/мин;

$u_3(t)$  – длина шага бегуна (зависит от длины ног и времени), м;

$u_4(t)$  – формирующая среда (методика тренировки, наставники, условия тренировки и т.п.), неизмеряемая величина.

Контролируемые управляемые возмущения **Z**:

$z_1(t)$  – температура воздуха, °C;

$z_2(t)$  – скорость ветра, м/с;

$z_3(t)$  – влажность воздуха, %;

$z_4(t)$  – качество дорожки, балл;

Неконтролируемые возмущения **W(t)** обусловлены неконтролируемым воздействием окружающей среды.

Состояние спринтера характеризуется контролируемыми и неконтролируемыми параметрами **X**.

$x_1(t)$  – артериальное давление, мм. рт. ст.;

$x_2(t)$  – температура тела, °C;

$x_3(t)$  – уровень глюкозы в крови, ммоль/л;

$x_4(t)$  – эмоциональный настрой, неизмеряемый показатель;

$x_5(t)$  – мотивация на результат, неизмеряемый показатель;

Выходной показатель **Y**:

$y_1(t)$  – скорость бега во времени в i-ом забеге, м/с;

$y_2 = \Delta y_1(t)$  – ускорение в i-ом забеге, м/с<sup>2</sup>;

$y_3 = \bar{y}_1(t)$  – средняя скорость в i-ом забеге, м/с;

$y_4 = \bar{y}_2$  – средняя скорость по n забегам, м/с;

Зависимость выходных показателей можно представить моделью вида:

$$y = F(U, Z, W), \quad (1.1)$$

Изм.	Лист	№ докум.	Подпись	Дата	Лист	14
					MP – 15.03.06 л3	

где  $F(U, Z, W)$  – функция для упрощённой модели оценки результатов спринтера от контролируемых воздействий и  $F(U, Z, W)$  – оператор для описания динамических процессов спринтера от контролируемых воздействий. Если  $u_3$  будет меняться для разных спринтеров или одного, то (1.1) представим в виде:

$$y|u_3 = F(U, Z, W). \quad (1.2)$$

В качестве упрощённых статических моделей, для оценки влияния контролируемых воздействий можно использовать линейную модель следующего вида:

$$\begin{aligned} y_3(U, X, Z, u_3) = & a_0 + a_1 u_1 + a_2 u_2 + a_3 x_1 + a_4 x_2 + \\ & + a_3 x_3 + a_4 x_2 + a_3 x_3 + a_4 z_1 + a_5 z_2 + a_6 z_3 + a_1 z_4 + V, \end{aligned} \quad (1.3)$$

где переменные  $u_i$ ,  $z_i$ ,  $x_i$  – средние значения контролируемых воздействий в  $i$ -ом забеге,  $i = 1 \dots N$ ,  $V$  – аддитивная помеха, как результат неконтролируемых воздействий.

Модель (1.3) позволяет по результатам  $N$  забегов (тренировок) выявить значимость контролируемых воздействий и степень их влияния в результате обработки экспериментальных данных методом регрессионного анализа. В качестве динамической модели можно применить линейную дискретную модель вида:

$$\begin{cases} x(k+1) = A \cdot x(k) + Bu_1(k) \\ y_1(k) = C x(k) + V(k) \end{cases}, \quad (1.4)$$

где  $x(k)$  – вектор значимых переменных состояния;

$A$ ,  $B$ ,  $C$  – параметры модели;

$k$  – дискретное время.

Изм.	Лист	№ докум.	Подпись	Дата

MP – 15.03.06 ПЗ

Лист

15

## 1.2 Требования к тренажёру

Таким образом, исходя из приведённой информации, необходимо такое устройство, которое будет иметь возможность на протяжении всей тренировки (всей беговой дистанции) формировать тренировочную среду постоянно поддерживая на валу двигателя крутящий момент заданной величины.

Данные условия наилучшим образом могут быть обеспечены системой, основными узлами которой будут являться серводвигатель с сервосистемой для его управления.

Самым оптимальным вариантом будет являться сервосистема, имеющая возможность задания и независимой поддержки крутящего момента. Таким образом, непосредственное управление поддержанием момента будет осуществляться внутренними средствами самой сервосистемы и не зависеть от других устройств.

Также, необходимо чтобы для измерения наблюдаемой величины – скорости бега спортсмена, используемый серводвигатель был оборудован энкодером. Имея возможность регистрации текущей скорости бегуна можно вычислять среднюю скорость на всей дистанции, составлять статистику тренировок бегуна, наблюдать за прогрессом, планировать нагрузки.

Диапазон регулируемой силы тяги: от 0,5 до 3 кг.

Диапазон поддерживаемой линейной скорости: до 45 км/ч.

Устройство должно быть переносным.

Устройство должно иметь интерфейс взаимодействия с пользователем.

Необходимо, чтобы устройство выдавало результат тренировки (скорость).

Желательно предусмотреть возможности для дальнейшего развития устройства и его модернизации.

Инд. № подл.	Подпись и дата	Взам. инф №	Инд. № дубл.	Подпись и дата	Подпись и дата	Лист
Изм.	Лист	№ докум.	Подпись	Дата	MP – 15.03.06 ПЗ	16

### 1.3 Расчет характеристик тренажёра

Рассчитаем размер вала. Выведем зависимость радиуса вала от оборотов двигателя (1.5).

$$V = \frac{l}{t}; \quad (1.5)$$

$$V = 2\pi R f = \frac{2\pi n}{60} \cdot R; \quad (1.6)$$

$$R = \frac{V \cdot 60}{2\pi n}, \quad (1.7)$$

где l – расстояние, м;

t – время, с;

n – обороты двигателя, об/мин;

R – радиус вала двигателя, м;

V – линейная скорость, м/с;

f – частота, Гц.

Вычислим радиус вала необходимый для поддержания максимально необходимой скорости (45 км/ч = 12,5 м/с) на номинальных (3000 об/мин) и максимальных (5000 об/мин) оборотах.

$$R_{\text{н}} = \frac{V \cdot 60}{2\pi n} = \frac{12,5 \cdot 60}{2\pi \cdot 3000} = 0,0398 \text{ м} = 3,98 \text{ см} \approx 40 \text{ см}; \quad (1.8)$$

$$R_{\text{м}} = \frac{V \cdot 60}{2\pi n} = \frac{12,5 \cdot 60}{2\pi \cdot 5000} = 0,0238 \text{ м} = 2,38 \text{ см} \approx 2,4 \text{ см}. \quad (1.9)$$

Диаметр вала серводвигателя должен быть не меньше рассчитанных значений.

Рассчитаем необходимый момент, который должен развивать двигатель для создания усилия до 3% от массы тела. Выведем формулу для расчёта момента.

$$M = F \cdot R; \quad (1.10)$$

$$F = m \cdot g; \quad (1.11)$$

$$M = m \cdot g \cdot R, \quad (1.12)$$

где М – момент силы, Н · м;

$K$  – время, с;

$R$  – радиус вала двигателя, м;

$g$  – ускорение свободного падения: 9,8 м/с;

$F$  – сила тяги, Н.

Проведём расчёт для максимальной и средней массы. Возьмём значение максимальной массы 80 кг, а средней 60 кг. Массу принимаем равной 3% от веса. Радиус вала примем равным рассчитанному для номинальной скорости вращения.  $R = 4$  см = 0,04 м.

$$M_H = 1,8 \cdot g \cdot 0,04 = 1,17 \text{ Н} \cdot \text{м}; \quad (1.13)$$

$$M_M = 2,4 \cdot g \cdot 0,04 = 2,35 \text{ Н} \cdot \text{м}; \quad (1.14)$$

Двигатель следует подбирать таким образом, чтобы его характеристики удовлетворяли рассчитанным значениям.

Изм.	Лист	№ докум.	Подпись	Дата

МР – 15.03.06 ПЗ

Лист  
18

## 1.4 Структура системы

Для реализации описанного устройства будет использована сервосистема, включающая серводвигатель, частотный преобразователь, энкодер и микроконтроллер с графическим LCD-дисплеем с Touch-панелью. Также будут использоваться сопутствующие технические средства для согласования сигналов системы. Структура данной системы изображена на рисунке 1.2.

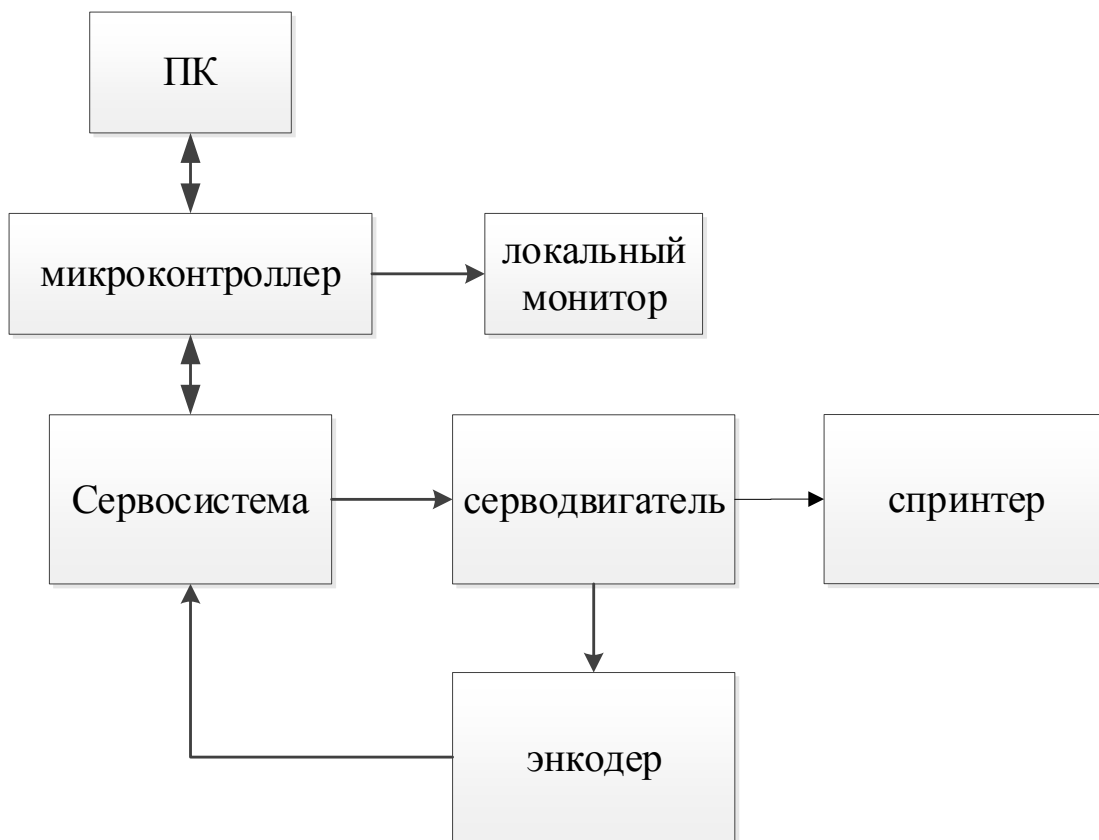


Рисунок 1.2 – Структурная схема системы управления

Система бегового тренажёра представляет собой установку, которая соединена с человеком специальным тросом. При беге трос, присоединённый к человеку, создаёт усилие (поддержка постоянного момента), которое тянет человека в направлении установки. В это время человек бежит в направлении усилия (в сторону установки).

Тренажёр может создавать как усилие в направлении бега (человек бежит в сторону установки), так и усилие, направленное в противоположную сторону (человек бежит в сторону от установки), создавая сопротивление при беге для того, чтобы при той же скорости прикладывать больше сил.

Другой конец троса, присоединённого к человеку, крепится на вал сервопривода. Сервопривод и энкодер на нём подключаются к модулю управления сервоприводом, настроенному на поддержание постоянного момента, который создаёт постоянный момент. Установка момента производится через аналоговый вход модуля управления. Значение величины, подаваемой на аналоговый вход будет задаваться микроконтроллером. Микроконтроллер, в свою очередь, будет связываться с дисплеем, на котором имеется графический интерфейс для ввода параметров работы установки и вывода информации о её работе.

Для вывода информации будет использовать дисплей, который соединён непосредственно с микроконтроллером. Такой вариант позволяет отслеживать состояние системы и управлять ею локально, без необходимости соединения с ПК. Дисплей оборудован тачскрином, что позволяет не только наблюдать за системой, но и управлять ею на месте.

Плата микроконтроллера обладает широкими возможностями и позволяет соединяться с ПК через USB. Эту и другие особенности можно использовать при дальнейшем развитии проекта, например в реализации соединения с ПК для хранения результатов, накопления их и составления статистики тренировок, сравнения статистики с прошлыми результатами или с результатами других тренирующихся.

## 1.1 Внешний вид тренажёра

Физически тренажёр представляет собой обтянутый металлическим листом каркас пирамидальной формы, внутри которого расположены технические средства, осуществляющие его работу. На тренажёре имеется дисплей с touch-панелью для взаимодействия с пользователем. Трос, идущий

от бегуна, проматывается через подшипник наверху пирамиды и крепится на вал двигателя. Схема тренажёра представлена на рисунке 1.3, фото тренажёра на рисунке 1.4.

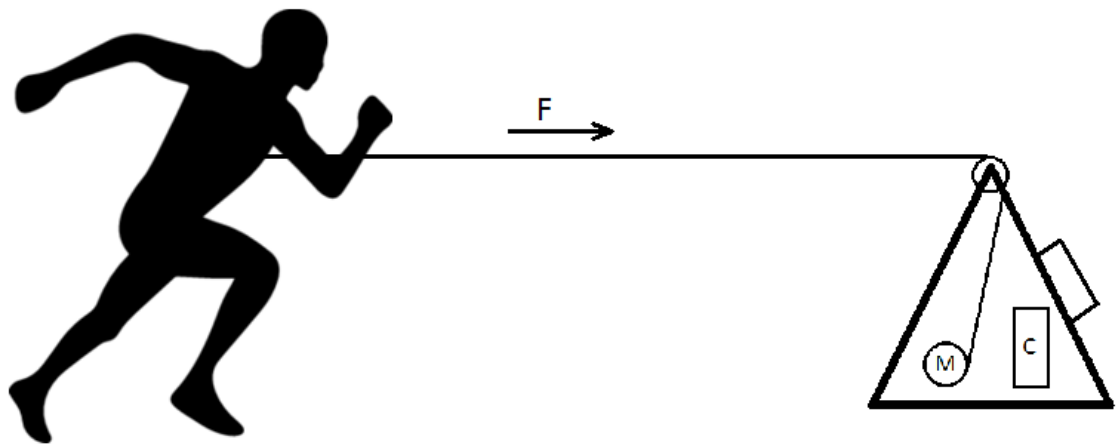


Рисунок 1.3 – Схема бегового тренажёра



Рисунок 1.4 – Внешний вид бегового тренажёра

					Лист

					Подпись и дата

Изм.	Лист	№ докум.	Подпись	Дата	

МР – 15.03.06 ПЗ

Лист  
21

## 2 Технические средства

### 2.1 Серводвигатель

В системе используется серводвигатель OMRON Sigma-II SGMAH-04AAA21, оборудованный инкрементальным энкодером, который подключается к сервосистеме.



Рисунок 2.1 – Общий вид двигателя SGMAH

Sigma II – это серия серводвигателей для управления перемещениями. Данные двигатели автоматически распознаются совместимым сервоприводом. Двигатели оборудованы энкодером с высоким разрешением, имеют компактную и прочную конструкцию. Подключение серводвигателя к сервоприводу производится средствами, представленными на рисунке 2.2. Механическая характеристика (зависимость момент-скорость) двигателя представлена на рисунке 2.3. Размеры двигателя представлены на рисунках 2.4 – 2.6.

Модель кабеля для подключения электропитания: R88A-CAWA003S-DE.

Модель кабеля для подключения энкодера: R88A-CRWB003N-E.

Инд. № подл.	Подпись и дата	Взам. инф №	Инд. № модел.	Подпись и дата	Лист
Изм.	Лист	№ докум.	Подпись	Дата	22

MP – 15.03.06 л3

		<p><b>Серводвигатель SGМАН</b></p> <p>Кабель электропитания</p> <p>Кабель для подключения энкодера</p> <p><b>Сервопривод Sigma-II</b></p>	
Герб примен.	Страница №		
Подпись и дата	Изм № подл	Изм № инф №	Изм № даты
Подпись и дата	Подпись и дата	Подпись и дата	Лист
Изм.	Лист	№ докум.	МР – 15.03.06 л3
Изм.	Лист	Дата	23

Пербр. примен.

Григорій №

*Подпись и дата*

Инф. № подл. *Подпись и дата*

## Основные характеристики:

- режим работы: продолжительный;
  - класс изоляции: класс B;
  - температура окружающей среды: от 0 до +40 °C;
  - влажность окружающей среды: от 20 до 80% (без конденсации);
  - класс вибрации: не более 15 мкм;
  - тип корпуса: полностью закрытый корпус, естественное охлаждение, IP 55 (за исключением отверстия для выхода вала);
  - виброустойчивость: вибрационное ускорение 49 м/c<sup>2</sup>;
  - монтаж: фланцевый монтаж.

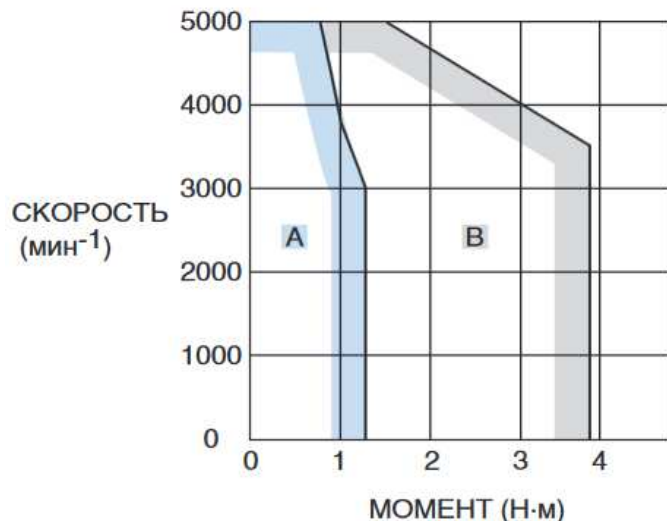


Рисунок 2.3 – Механическая характеристика двигателя SGMAH. А – номинальная, В – максимальная.

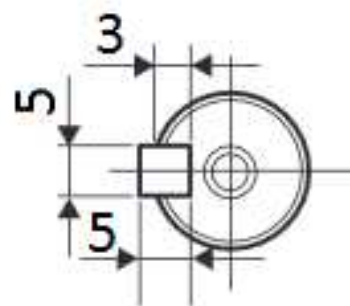


Рисунок 2.4 – Размеры вала двигателя SGMAH

<i>Изм.</i>	<i>Лист</i>	<i>№ докум.</i>	<i>Подпись</i>	<i>Дата</i>

MP - 150306 173

Луис

24

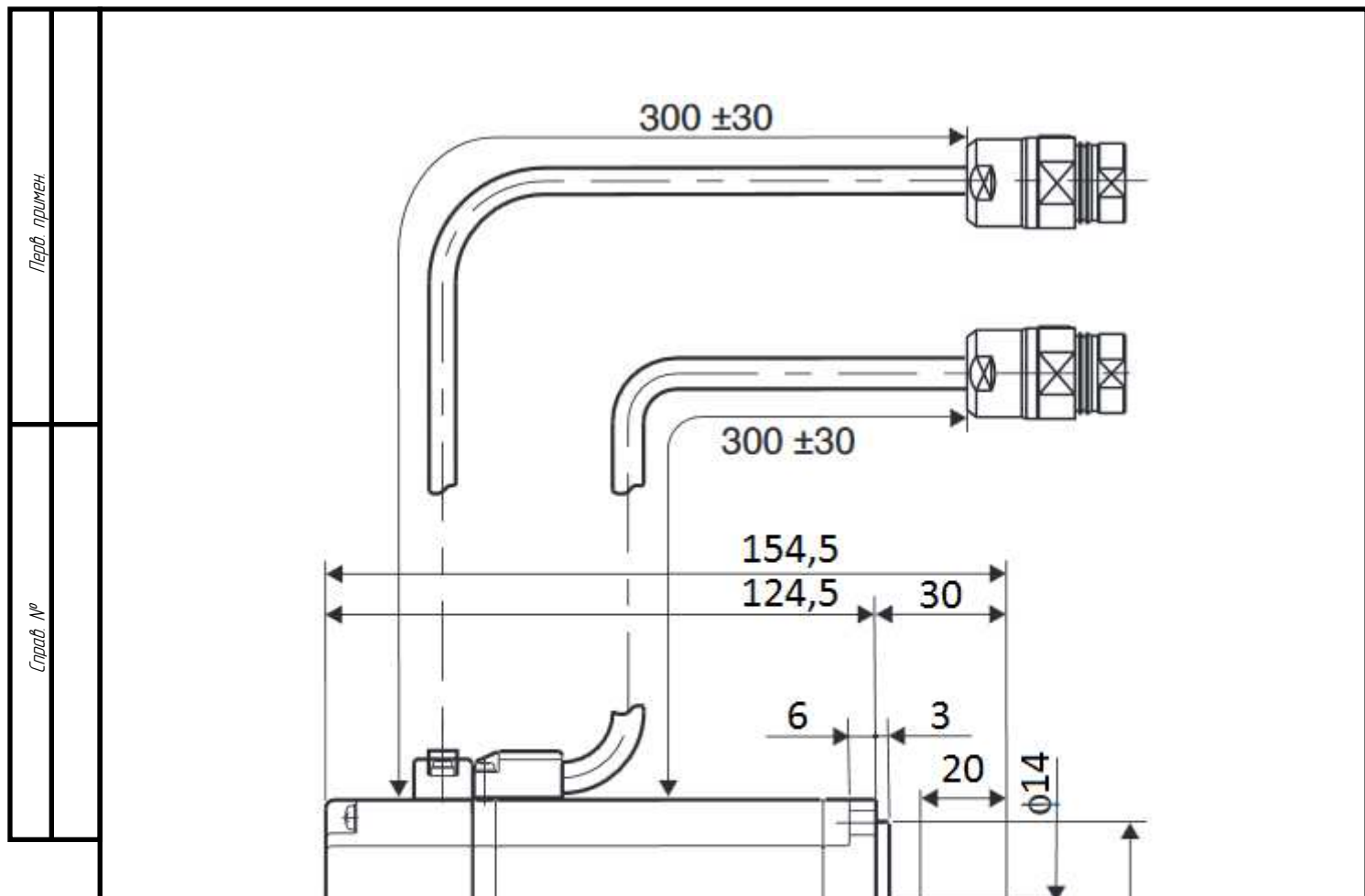


Рисунок 2.5 – Размеры двигателя SGMAH

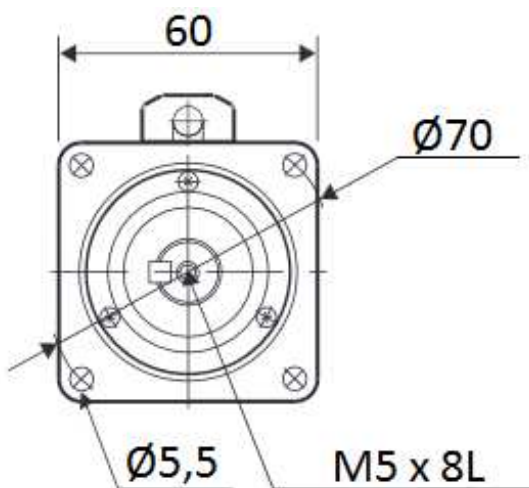


Рисунок 2.6 – Размеры двигателя SGMAH

Изм	Лист	№ докум.	Подпись	Дата	MP – 15.03.06 л3	Лист 25

## 2.2 Сервосистема

Для взаимодействия с двигателем используется сервопривод YASKAWA SERVOPACK SGDM-04ADA-R.

Данное семейство сервоприводов предназначено для оптимального управления скоростью, положением и моментом серводвигателей. Реализованные на базе 32-разрядного RISC-процессора сервоприводы обеспечивают оптимальное регулирование и снабжены функцией автоматической подстройки. Эта функция в процессе работы непрерывно адаптирует параметры управления к изменяющимся условиям нагрузки. Выбранный серводвигатель совместим с сервоприводом и распознаётся им.



Рисунок 2.7 – Общий вид сервосистемы SGDM.

Изм. № подл.	Подпись и дата	Взам. избл №	Избл. № избл.	Подпись и дата	Герб примен.
Изм.	Лист	№ докум.	Подпись	Дата	Лист 26

МР – 15.03.06 ПЗ

Как можно увидеть на рисунке 2.7 – все элементы управления сервоприводом находятся на его лицевой панели (рисунок 2.8). Сигналы управления моментом и сигналы энкодера будут устанавливаться/считываться через разъём CN1.

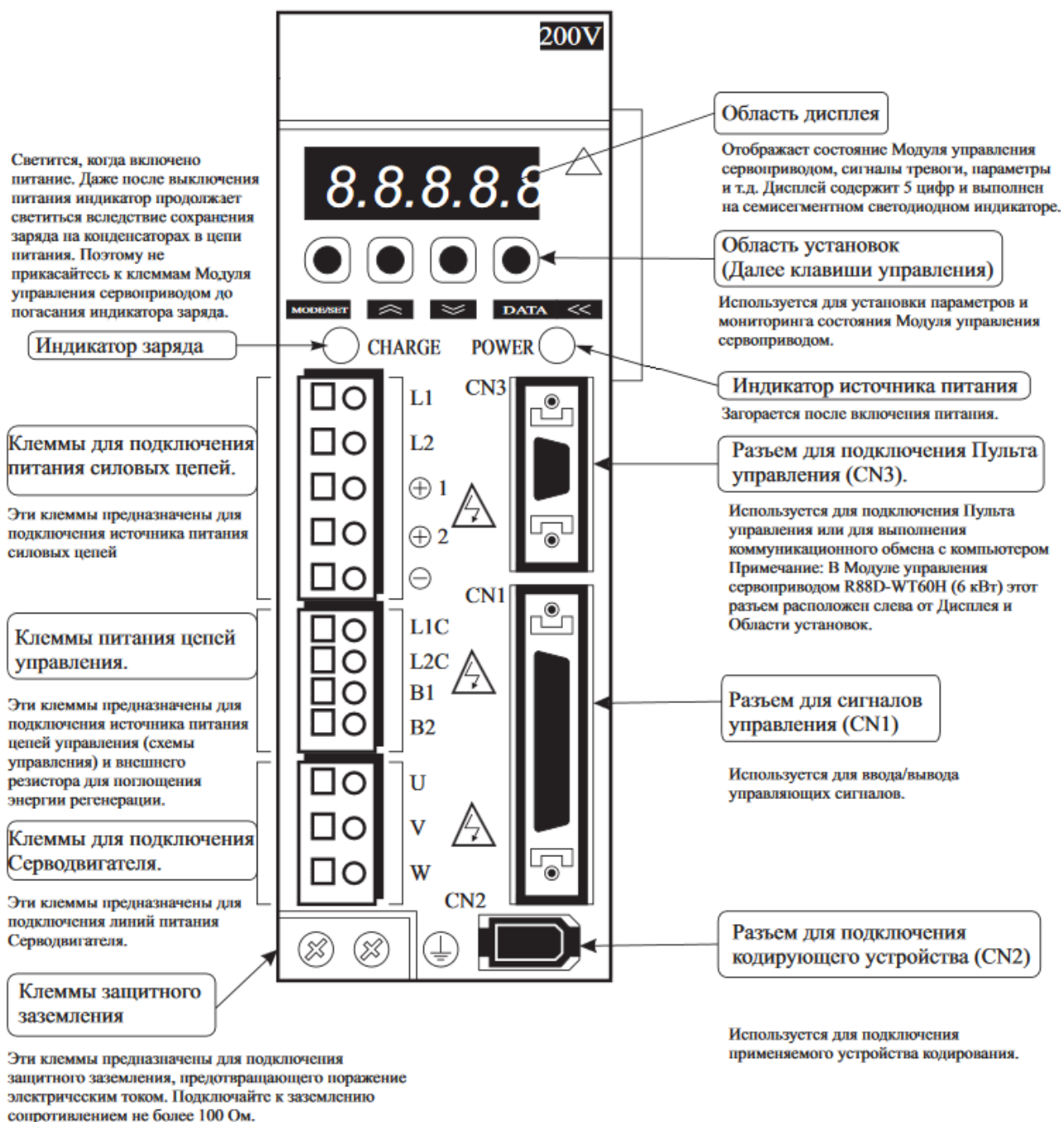


Рисунок 2.8 – Описание передней панели сервисной системы SGDM

На рисунке 2.8. представлен внешний вид передней панели сервопривода и описаны назначения её элементов. В таблице 2.1 приведено описание контактов клеммного блока передней панели. В таблице 2.2 описано назначение контактов разъёма CN1. В таблице 2.3 дано описание управляющих сигналов разъёма CN1, в таблице 2.4 – описание сигналов состояния.

Таблица 2.1 – Контакты клеммного блока

Сигнал	Назначение	Назначение
L1	Ввод напряжения силового питания	Однофазный источник переменного тока 220/230 В (187...253 В) 50/60Гц.
L2		
+	Выход напряжения постоянного тока (вращение в прямом направлении)	Не производите никаких соединений. Данная клемма предназначена только для R88D-WT60H.
+1	Клемма для подключения дросселя постоянного тока для погашения гармонических составляющих источника питания.	В обычном случае клеммы +1 и +2 замкнуты накоротко. Если требуются меры для подавления гармонических составляющих напряжения источника питания, подключите дроссель для цепей постоянного тока между клеммами +1 и +2. (Модуль R88D-WT60H таких клемм не содержит.)
+2		
-	Выход напряжения постоянного тока (вращение в обратном направлении)	Не производите никаких соединений.
L1C/24V	Вход напряжения питания цепей (схемы) управления.	R88D-WT□H (Н): Однофазный источник переменного тока 200/230 В (170...253 В) 50/60Гц.
L2C/0V		R88D-WT□HL: Однофазный источник переменного тока 100/115 В (85... 127 В) 50/60Гц. R88D-WT□HF: Источник постоянного тока (20,4...27,6 В).
B1	Клеммы для подключения внешнего поглощающего резистора	30...400 Вт: В обычном случае к данным клеммам подключение не производится. Если энергия регенерации велика, подключите внешний поглощающий резистор между клеммами B1 и B2.
B2		450 Вт...5 кВт: Закоротите клеммы B2 и B3. Если энергия регенерации велика, удалите перемычку между клеммами B2 и B3 и подключите внешний поглощающий резистор между клеммами B1 и B2.
B3		6...15кВт: Подключите Блок внешнего поглощающего резистора между клеммами B1 и B2.
U	Клеммы для подключения Серводвигателя.	Клеммы предназначены для подключения Серводвигателя. Будьте внимательны при подключении этих клемм
V		
W		
***	Заземление каркаса.	Данная клемма является клеммой заземления. Подключайте к линии заземления сопротивлением не более 100 Ом (класс - 3).
***		

В таблице 2.2 представлено описание всех контактов устройства, управляющего сервоприводом. В таблице 2.3 приведено описание их функций.

Таблица 2.2 – Назначение контактов

Инд. № подл.	Подпись и дата	Взам. инф. №	Инд. № докл.	Подпись и дата	Справ. №	Перф. примеч.			
							Контакт №	Назначение	Описание
2	SENGND	Заземление ввода датчика ON			1	GND	Общее заземление		
4	SEN	Ввод датчика ON			3	PCOM	Источник питания для команд на выводе с открытым коллектором.		
6	AGND	Заземление для команды управления скоростью			5	REF	Ввод для команды управления скоростью		
8	-PULS/CW/-A	Импульс питания «-», импульс вращения в обратном направлении «-», фаза А «+»			7	+PULS/CW/+ A	Импульс питания «+», импульс вращения в обратном направлении «+», фаза А «+»		
10	AGND	Заземление для команды управления моментом			9	TREF	Ввод для команды управления моментом.		
12	-SIGN/CCW/-B	Импульс питания «-», импульс вращения в прямом направлении «-», фаза В «-»			11	+SIGN/CCW/+B	Сигнал направления вращения «+», импульс вращения в прямом направлении «+», фаза В «+»		
14	-ECRST	Сброс показаний счетчика отклонений «-»			13	PCOM	Источник питания для команд на выводе с открытым коллектором		
16		(См. прим. 2)			15	+ECRST	Сброс показаний счетчика отклонений «+»		
18	PCOM	Источник питания для команды на выходе с открытым коллектором			17		(См. прим. 2)		
20	-Z	Вывод сигнала фазы «-» Z кодирующего устройства			19	+Z	Вывод сигнала фазы «+» Z устройства кодирования		
22	BATGND	Ввод «-» батареи резервного питания (см. примечание 3)			21	BAT	Ввод «+» батареи резервного питания(см. примечание 3)		
24		(См. прим. 2)			23		(См. прим. 2)		
					25	+INP	Сигнал I завершения позиционирования. (См. прим. 1.)		
27	+TGON	Сигнал определения вращения серводвигателя (См. прим.1).			26	INPCOM	Сигнал завершения позиционирования, заземление (См. прим.1)		
29	+READY	Вывод сигнала готовности сервоприводования (См. прим.1)			28	TGONCOM	Сигнал определения вращения серводвигателя, заземление (См. прим.1)		
31	ALM	Вывод сигнала тревоги			30	READYCOM	Выход сигнала готовности сервоприводования, заземление (См. прим.1)		
33	+A	Вывод сигнала фазы А «+» кодирующего устройства			32	ALMCOM	Общий контакт для вывода сигнала тревоги		
35	-B	Вывод сигнала фазы В «-» кодирующего устройства			34	- A	Вывод сигнала фазы А «-» кодирующего устройства		
37	ALO1	Вывод 1 кодированного сигнала тревоги.			36	+ B	Вывод сигнала фазы В «+» кодирующего устройства		
39	ALO3	Вывод 3 кодированного сигнала тревоги			38	ALO2	Вывод 2 кодированного сигнала тревоги		
41	MING/IPG/T VSEL/ RDIR	Ввод сигнала снижения коэффициента передачи. (См. примечание 1.)			40	RUN	Ввод команды запуска		
43	NOT	Ввод сигнала запрещения движения в обратном направлении. (См. примечание 1.)			42	POT	Ввод сигнала запрещения движения в прямом направлении		
45	PLC/SPDI	Ввод сигнала предельного тока при вращении в прямом направлении (См. прим. 1.)			44	RESET	Ввод сигнала сброса тревоги. (См. прим. 1.)		
47	+24VIN	Ввод для подключения источника питания цепей управления + 24 В			46	NCL	Ввод сигнала предельного тока при вращении в обратную сторону.		
49	- ABS	Вывод сигнала кодирующего устройства			48	+ ABS	Вывод сигнала кодирующего устройства.		
					50		(См. прим. 2.)		

Таблица 2.3 – Входы управления CN1

Инд. № подл.	Подпись и дата	Взам. инф №	Инд. № дубл.	Подпись и дата	Мод. № дубл.	Бзам. инф №	Подпись и дата	Справ. №	Перф. признак	Таблица 2.3 – Входы управления CN1				
										Контакт №	Сигнал	Назначение	Содержание	Режим управления (регулирования)
								5	REF	Ввод для команд управления скоростью		Входные клеммы для аналогового сигнала управления скоростью. ±2...±10 В (Вращение серводвигателя в прямом направлении соответствует положительному напряжению).	Все режимы.	
								6	AGND	Заземление для команды управления скоростью		Масштаб изменяется посредством изменения установки параметра пользователя Pn300 (масштаб команды управления скоростью). Может использоваться в качестве ввода сигнала предельной скорости при управлении моментом (путем изменения значения параметра Pn002.1).		
								9	TREF	Ввод для команд управления моментом.		Входные клеммы для аналогового сигнала управления моментом. ±1...±10 В (Момент серводвигателя в прямом направлении соответствует положительному напряжению).	Все режимы.	
								10	AGND	Заземление для команды управления моментом.		Масштаб изменяется посредством изменения установки параметра пользователя Pn400 (масштаб команды управления моментом). Может использоваться в качестве ввода сигнала предельного момента или в качестве ввода сигнала при управлении скоростью с опережением или для управления позиционированием (путем изменения значения параметра Pn002.0).		
								3	PCOM	Источник питания для команд, подаваемых через выводы с открытым коллектором.		Для обеспечения работы вывода с открытым коллектором и ввода командных импульсов, а также команд сброса счетчика отклонения подключайте выводы «+» к этим клеммам, а выводы «-» к клеммам вывода с открытым коллектором.	Все режимы.	
								13						
								18						
								7	+PULS/CW/A	Импульс питания, импульс вращения в обратном направлении или импульсный сигнал с разностью фаз 90° (фаза А).		Входные клеммы для последовательности импульсов команды управления позиционированием.	Управление позиционированием.	
								8	- PULS/CW/A			Линейный ввод 10 мА, 3 В. Максимальная частота импульсов: 500 000 имп./сек		
								11	+SIGN/CW/B	Сигнал направления вращения, импульс вращения в прямом направлении или импульсный сигнал с разностью фаз 90° (фаза В).		Ввод сигнала с открытым коллектором: 7...15 мА. Максимальная частота импульсов: 200 000 имп./сек ***		
								12	- SIGN/CCW/B			Посредством изменения установки параметра Pn200.0 можно выбрать один из режимов: импульсы питания или сигналы направления (PULS/SIGN); импульсы вращения в прямом или обратном направлении (CW/CCW); сигналы (A/B) с разностью фазы 90° (фазы A/B).		
								14	- ECRST	Сброс показаний счетчика отклонения.		Линейный ввод 10 мА, 3 В.	Управление позиционированием.	
								15	+ ECRST			Ввод с сигнала открытым коллектором, 25 мА, 5 В.		
												ON: осуществляется сброс счетчика отклонения и запрещается ввод импульсных команд.		
								4	SEN	Ввод датчика ON.		ON: Передается количество оборотов Абсолютного датчика углового перемещения и начальное количество импульсов.	Все режимы (Абсолютный датчик углового перемещения).	
								2	SENGND			Требуется при использовании Абсолютного датчика углового перемещения.		
								21	BAT	Ввод «+» батареи резервного питания		Клеммы подключения резервной батареи для работы при отключении питания Абсолютного датчика углового перемещения.	Все режимы (Абсолютный датчик углового перемещения).	
								22	BATGND	Ввод «-» батареи резервного питания				
								47	+24VIN	Ввод для подключения источника питания цепей управления + 24 В.		Клеммы для подключения источника питания (+24 В) для последовательных входных сигналов (контакты 40...46).	Все режимы.	
								40...46	RUN [40]	Ввод команды запуска (RUN).		ON: Запуск сервопривода (подача питания на Серводвигатель).	Все режимы.	
									MING [41]	Ввод команды уменьшения коэффициента передачи.		ON: Переключает петлю управления скоростью в режим Р-регулирования и уменьшает коэффициент передачи при управлении скоростью.	Управление позиционированием, скоростью, внутренне устанавливаемой скоростью.	

## Продолжение таблицы 2.3 – Входы управления CN1

Контакт №	Сигнал	Назначение	Содержание	Режим управления (регулирования)
	POT [42]	Ввод запрещения движения в прямом направлении.	Ввод команды запрещения движения за установленный предел в прямом направлении. (OFF: запрещено; ON: разрешено).	Все режимы.
	NOT [43]	Ввод запрещения движения в обратном направлении.	Ввод команды запрещения движения за установленный предел в обратном направлении. (OFF: запрещено; ON: разрешено).	Все режимы.
	RESET [44]	Ввод сброса тревоги.	ON: осуществляется сброс тревоги, вызванной нарушением режима сервоподсистемы.	Все режимы.
	PCL [45]	Ввод предельного тока при вращении в прямом направлении.	ON: Выходной ток ограничивается значением, заданным в параметре Pn404 (предельный ток при вращении в прямом направлении).	Все режимы.
	NCL [46]	Ввод предельного тока при вращении в обратном направлении.	ON: Выходной ток ограничивается значением, заданным в параметре Pn405 (предельный ток при вращении в обратном направлении).	Все режимы.
	RDIR [41]	Вход направления вращения.	Указывает направление вращения Серводвигателя при внутренне заданной скорости. OFF: Вращение в прямом направлении, ON: Вращение в обратном направлении.	Внутренние установки управления скоростью.
	SPD1 [45]	Ввод команды 1 управления скоростью.	Осуществляет выбор одной из внутренне задаваемых скоростей (Pn301, Pn302, Pn303).	Внутренние установки управления скоростью.
	SPD2 [46]	Ввод команды 1 управления скоростью.		
	TVSEL[4-1]	Ввод переключения режима управления	ON: Изменение режима регулирования.	Переключение режима управления.
	PLOCK [41]	Ввод команды блокирования позиции (режима)	ON: Блокирование позиции входит в действие, если скорость вращения двигателя не превышает скорость, заданную в параметре Pn501.	Управление скоростью с блокированием в позиции.
	IPG [41]	Ввод запрещения импульсного управления	ON: Запрещает чтение командных импульсов и двигатель останавливается.	Управление позиционированием (с запрещением чтения импульсов).
	GSEL	Ввод изменения коэффициента передачи	ON: Изменяет коэффициент передачи к коэффициенту передачи для скорости 2 (Pn104, Pn105, Pn106).	Внутренние установки управления скоростью.

Таблица 2.4 – Выводы состояния CN1

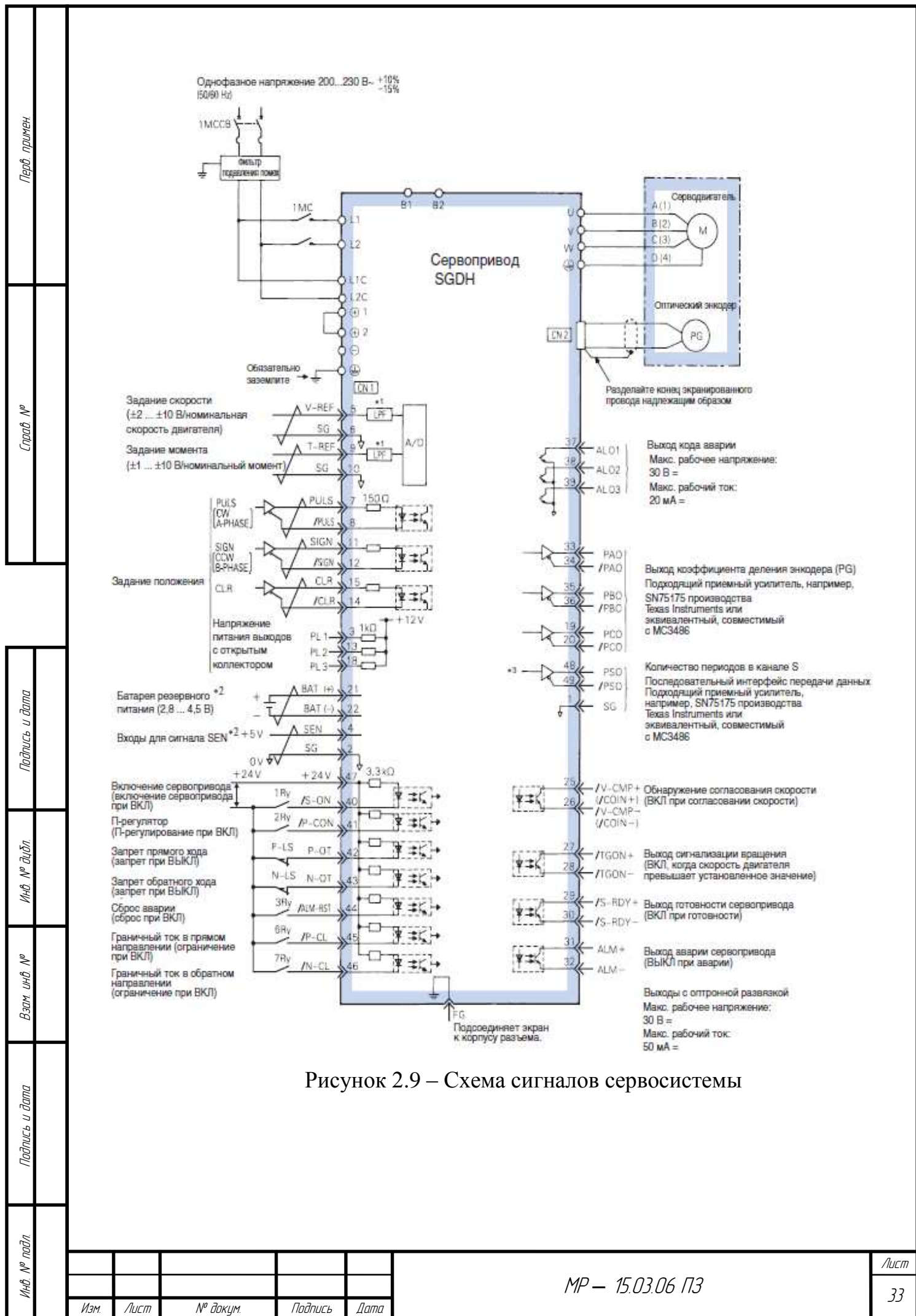
Контакт №	Сигнал	Назначение	Содержание	Режим управления
1	GND	Общее заземление	Заземление для выхода устройства кодирования, кодированного сигнала тревоги.	Все режимы.
33	A +	Выход фазы +A устройства кодирования.	Подает на выход импульсы кодирующего устройства, деленные на коэффициент, заданный в параметре Pn-201..	Все режимы.
34	A -	Выход фазы -A устройства кодирования.	Линейный выход (подчиняется требованиям к RS-422).	
36	B -	Выход фазы + B устройства кодирования.		
35	B +	Выход фазы - B устройства кодирования.		
19	Z +	Выход фазы + Z устройства кодирования.	Подает на выход сигналы фазы Z кодирующего устройства (один импульс/оборот).	Все режимы.
20	Z -	Выход фазы - Z устройства кодирования.	Линейный выход (подчиняется требованиям к RS-422).	
48	+ABS	Выходной сигнал Абсолютного датчика углового перемещения (+)	Данные Абсолютного датчика углового перемещения.	Все режимы.
49	-ABS	Выходной сигнал Абсолютного датчика углового перемещения (-)	Линейный выход (подчиняется требованиям к RS-422).	

Изм.	Лист	№ докум.	Подпись	Дата	Лист
					31

#### Продолжение таблицы 2.4 – Выводы состояния CN1

Контакт №	Сигнал	Назначение	Содержание	Режим управления
37	ALO1	Вывод 1 кодированного сигнала тревоги.	При появлении сигнала тревоги для Модуля управления, содержание ошибки передается на выход в виде кодированного сигнала.	Все режимы.
38	ALO2	Вывод 2 кодированного сигнала тревоги.	Вывод с открытым коллектором: 30 В постоянного тока, максимум 20 мА.	
39	ALO3	Вывод 3 кодированного сигнала тревоги.		
31	ALM	Вывод сигнала тревоги.	При появлении сигнала тревоги для Модуля управления сервоприводом, вывод переводится в состояние «OFF».	Все режимы.
32	ALMCOM		Вывод с открытым коллектором 50 мА, 30 В постоянного тока максимум.	
25...30	INP1 [25]	Вывод сигнала завершения позиционирования 1	Вывод переводится в состояние ON, когда ошибка отклонения от заданного значения становится равной или меньше уровня завершения позиционирования, заданного в параметре Pn-500  OFF- когда режимом регулирования является режим, отличающийся от режима управления позиционированием..	Управление позиционированием.
	INPCOM [26]			
	INP2	Вывод сигнала завершения позиционирования 2	Вывод переводится в состояние ON, когда ошибка отклонения от заданного значения становится равна или меньше уровня завершения позиционирования, заданного в параметре Pn-504  OFF- когда режимом регулирования является режим, отличающийся от режима управления позиционированием.	Управление позиционированием.
	INPCOM			
	VCMP [25]	Вывод сигнала соотвествия скорости	Когда ошибка скорости вращения находится в пределах заданного диапазона соответствия скорости (Pn-503), вывод переводится в состояние «ON». OFF- когда режимом регулирования является режим, отличающийся от режима управления скоростью.	Регулирование скорости.
	VCMPSCOM			
	TGON	Выходной сигнал определения вращения серводвигателя.	Вывод переводится в состояние «ON», если скорость вращения серводвигателя превышает значение, заданное в параметре (Pn-502).	Все режимы.
	TGONCOM			
	READY	Выходной сигнал готовности серворегулирования.	Вывод переводится в состояние «ON», когда после включения силового питания ошибка не обнаруживается.	Все режимы.
	READYCOM			
CLIMT	CLIMT	Сигнал определения заданного предела потребляемого тока.	Вывод переводится в состояние «ON», когда выходной ток ограничивается.	Все режимы.
	CLIMTCOM			
VLIMT	VLIMT	Сигнал определения заданного предела скорости.	Вывод переводится в состояние «ON», когда достигается предельная скорость.  OFF- когда режимом регулирования является режим, отличающийся от режима управления моментом.	Управление моментом.
	VLIMTCOM			
BKIR	BKIR	Вывод сигнала блокировки тормоза.	Выводит сигналы блокировки тормоза согласно установкам параметра Pn506, Pn507, и Pn508.	Все режимы.
	BKIRCOM			
WARN	WARN	Вывод сигнала предупреждения о перегрузке.	Переходит в состояние «OFF», когда определяется уровень подачи предупреждения о перегрузке.	Все режимы.
	WARNCOM			
Оплетка	FG	Заземление каркаса.	Клемма для заземления оплетки кабеля и для проводника заземления каркаса.	Все режимы.

На рисунке 2.9 представлена общая схема подключения к контактам сервосистемы. В нашем случае, помимо подключения питания и серводвигателя, необходимо подключиться к контактам задания момента (9,10) и к контактам на которые выводятся сигналы с энкодера (19, 20, 33-36). Схема сигналов сервосистемы, используемых в проекте, представлена на рисунке 2.10.



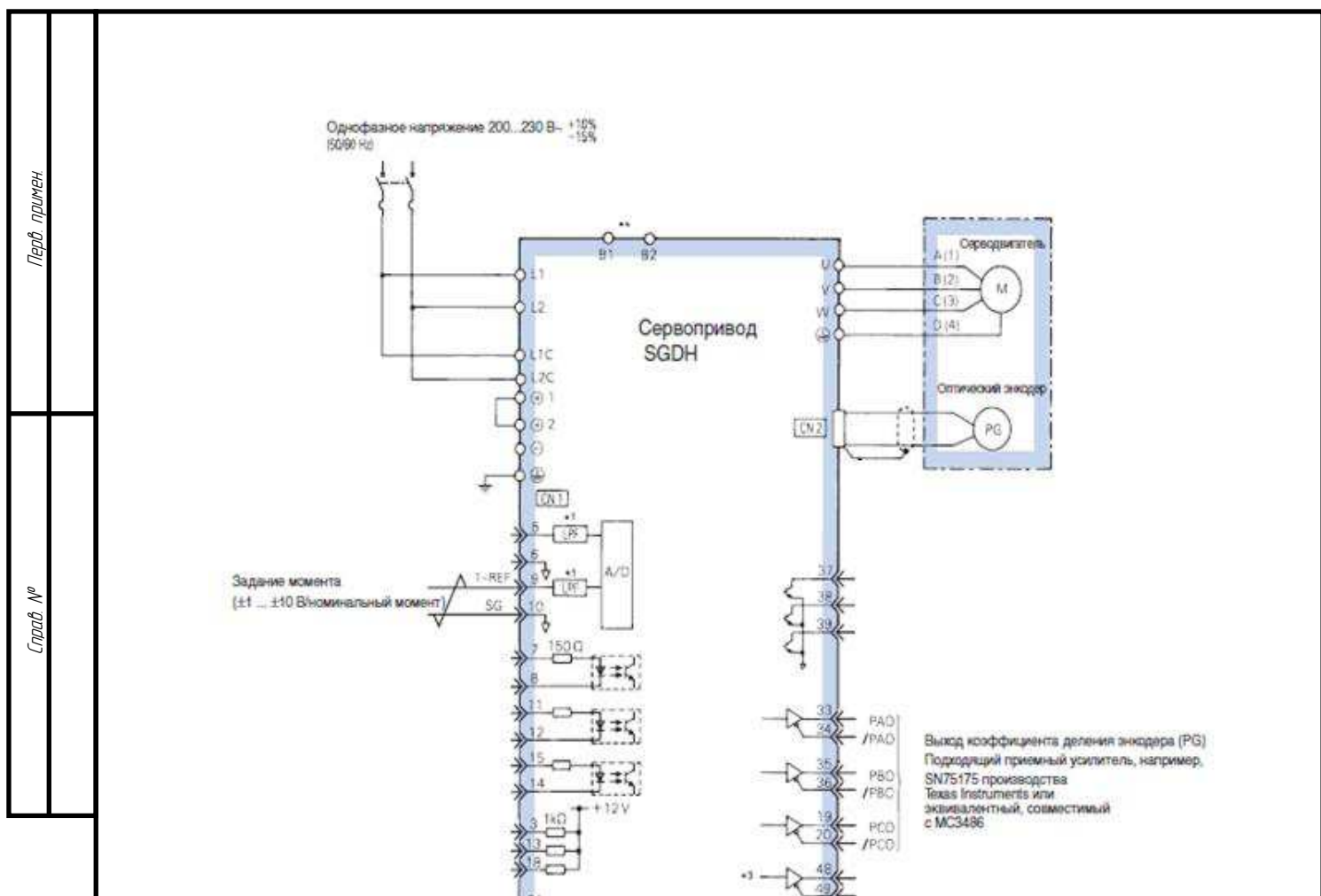


Рисунок 2.10 – Схема подключения используемых сигналов  
сервосистемы SGDM

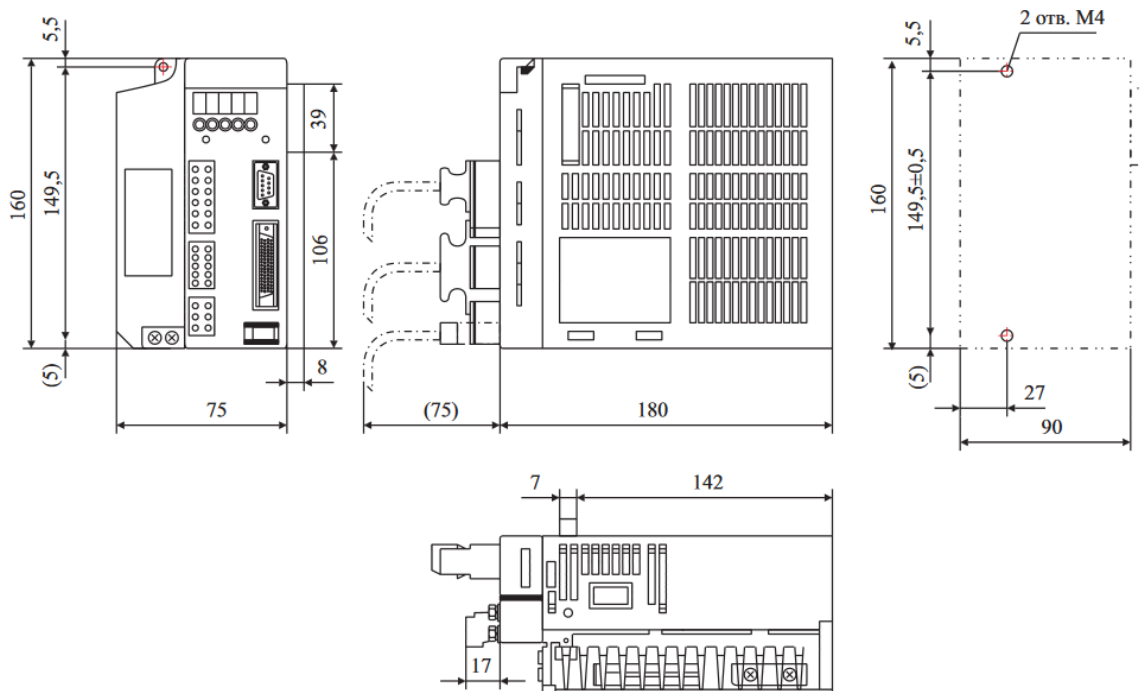


Рисунок 2.11 – Размеры сервосистемы SGDM

Изм.	Лист	№ докум.	Подпись	Дата	Лист
					34

МР – 15.03.06 л3

## 2.2.1 Управление моментом

Сервопривод выполняет регулирование момента вращения серводвигателя используя аналоговый входной сигнал в качестве команды управления моментом. Задание момента осуществляется подачей на аналоговый вход напряжения, соответствующего желаемому крутящему моменту. Имеется возможность изменять соотношение между командой управления моментом и моментом вращения путём задания масштаба для команды управления моментом (рисунок 2.12).

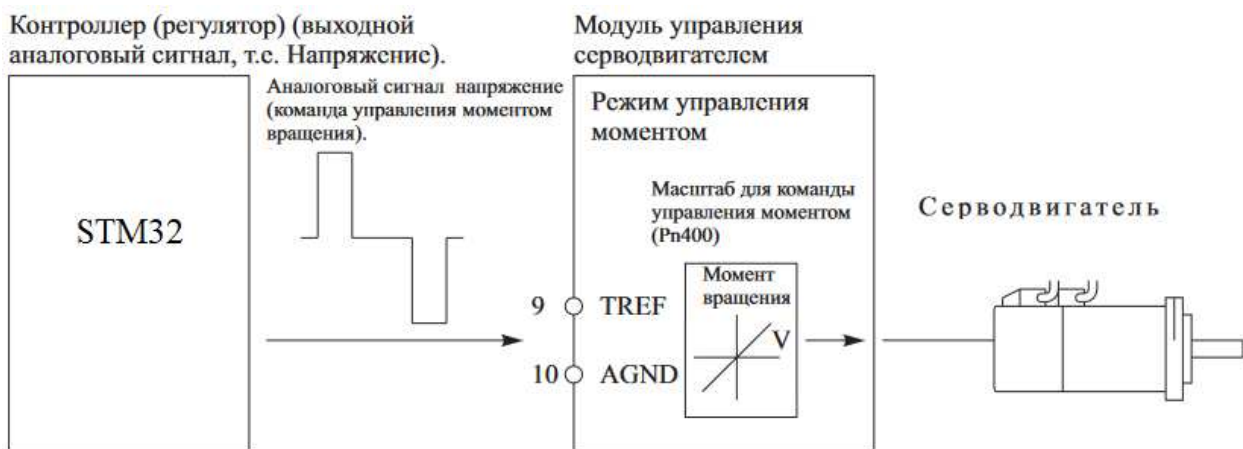


Рисунок 2.12 – Схема задания момента вращения серводвигателя внешним управляющим сигналом

Для настройки управления моментом следует выполнить установку следующих параметров:

Pn000 – выбор режима управления. Для аналогового задания управления моментом необходимо, чтобы значение второго разряда данного параметра было равно 2 (Pn000.2 = 2 или Pn000 = n.□□2).

Pn400 – масштаб для команды управления моментом. Задаёт напряжение для работы при номинальном моменте вращения на входе команды управления моментом (рисунок 2.13).

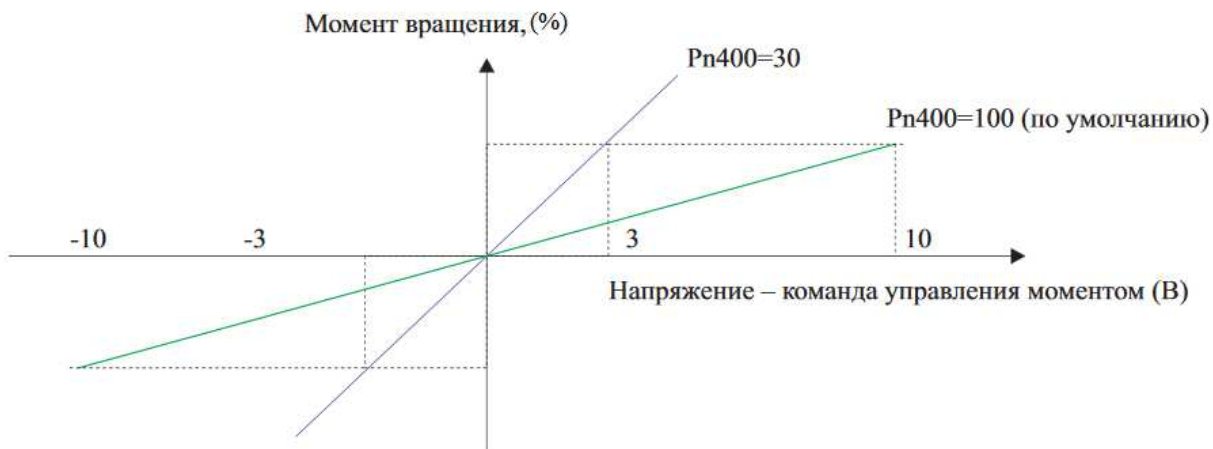


Рисунок 2.13 – График отношения между крутящим моментом и напряжением его задания

Также имеются связанные функции, относящиеся к управлению скоростью, которые могут использоваться в процессе выполнения управления моментом вращения.

В режиме управления моментом серводвигателя его скорость не контролируется. Соответственно, когда задаётся избыточный для механической нагрузки крутящий момент, он будет преобладать над силой нагрузки и скорость серводвигателя значительно возрастёт. Для избежания этого в сервоприводе имеется функция ограничения скорости во время управления крутящим моментом (рисунок 2.14). Параметр – Pn407. Им задаётся максимальная скорость вращения, измеряемая в  $\text{мин}^{-1}$ .

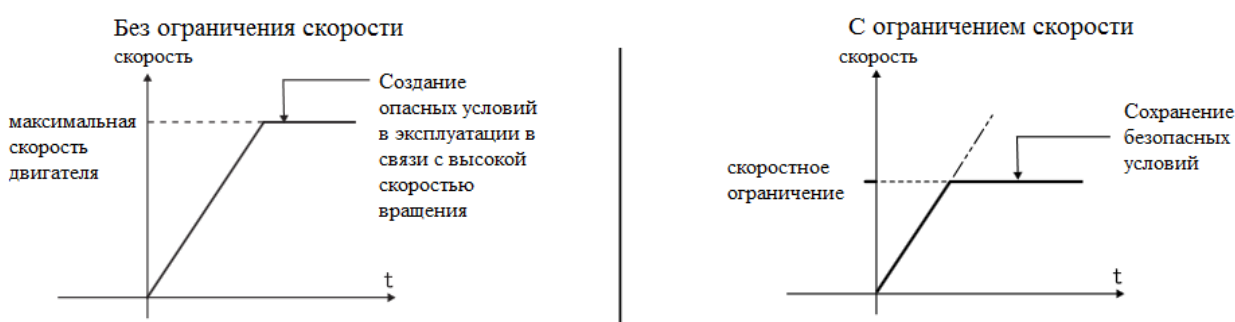


Рисунок 2.14 – Ограничение скорости вращения при управлении по моменту

Инд. № подл.	Подпись и дата	Инд. № докл.	Взам. инф. №	Подпись и дата	Подпись и дата	Инд. № докл.	Лист
Изм.	Лист	№ докум.	Подпись	Дата			36
						MP – 15.03.06 ПЗ	

## 2.3 Микроконтроллер

Для генерирования сигналов управления сервосистемой и обработки сигналов её состояния будет использоваться микроконтроллер STM32F746NGH6.

Данные контроллеры представляют собой мощное решение для создания сложного проекта. Главные преимущества STM32 — это богатый набор функционала при достаточно низкой цене. На данный момент из доступных контроллеров является серия F7 с максимальной тактовой частотой 200 МГц. Количество поддерживаемых интерфейсов намного превышает любую Atmega за такую же цену. Именно поэтому данные контроллеры все больше находят свое применение в производстве. Благодаря большому количеству периферии и интересов, любой проект можно легко модифицировать, расширить без каких-либо проблем.

Одним из способов упростить процесс создания нового проекта на базе микроконтроллера как по уровню сложности, так и по затраченному времени, является использование отладочных плат, поэтому контроллер используется в версии с отладочной платой STM32F746G-DISCOVERY (рисунок 2.15, 2.16) в которой имеется большой набор периферии. Главной её особенностью является LCD дисплей с Touch-панелью.

Также на плате присутствуют Arduino Uno V3 разъемы, что позволяет легко подключить платы расширения (так называемые шилды) или дочерние платы для конкретных приложений разработчика от платформы Arduino. Интегрированный в плату ST-LINK/V2-1 предоставляет встроенный в схему отладчик и программатор для STM32.

Данная плата поставляется с библиотеками HAL и набором пакетов ПО для примера. Она поддерживает несколько сред программирования: Keil MDK-ARM, IAR EWARM, GCC-based IDEs, ARM mbed Enabled online.

Изм.	Лист	№ докум.	Подпись	Дата

MP – 15.03.06 л3

Лист

37

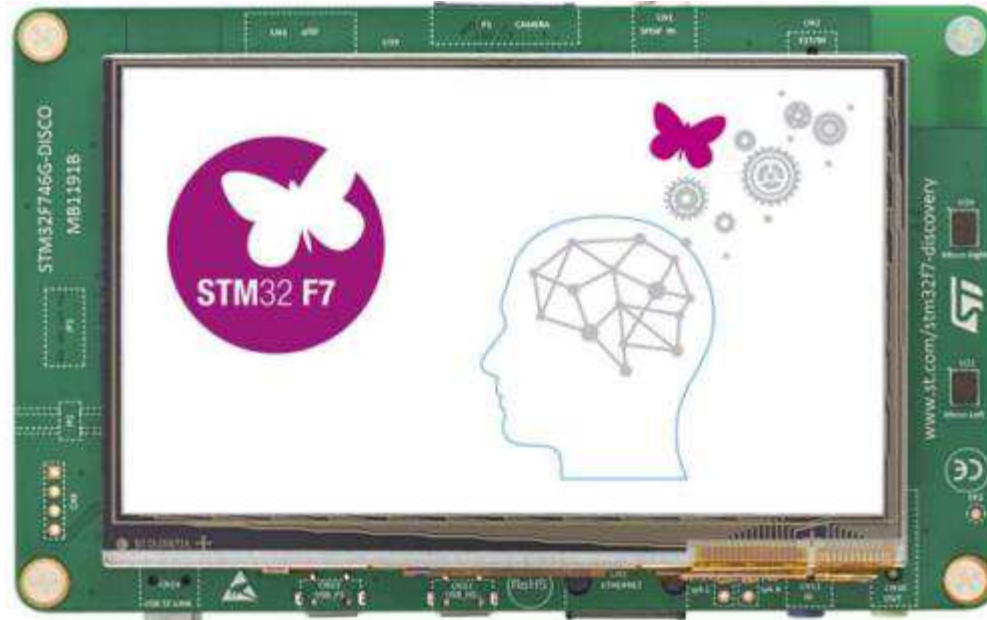


Рисунок 2.15 – Верхняя сторона платы STM32F746G-DISCOVERY

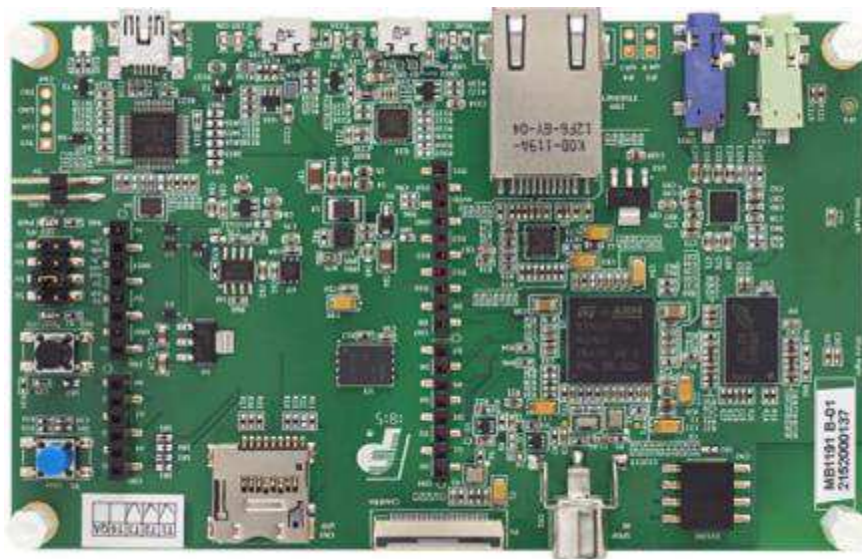


Рисунок 2.16 – Нижняя сторона платы STM32F746G-DISCOVERY

#### Особенности платы STM32F746G-DISCOVERY:

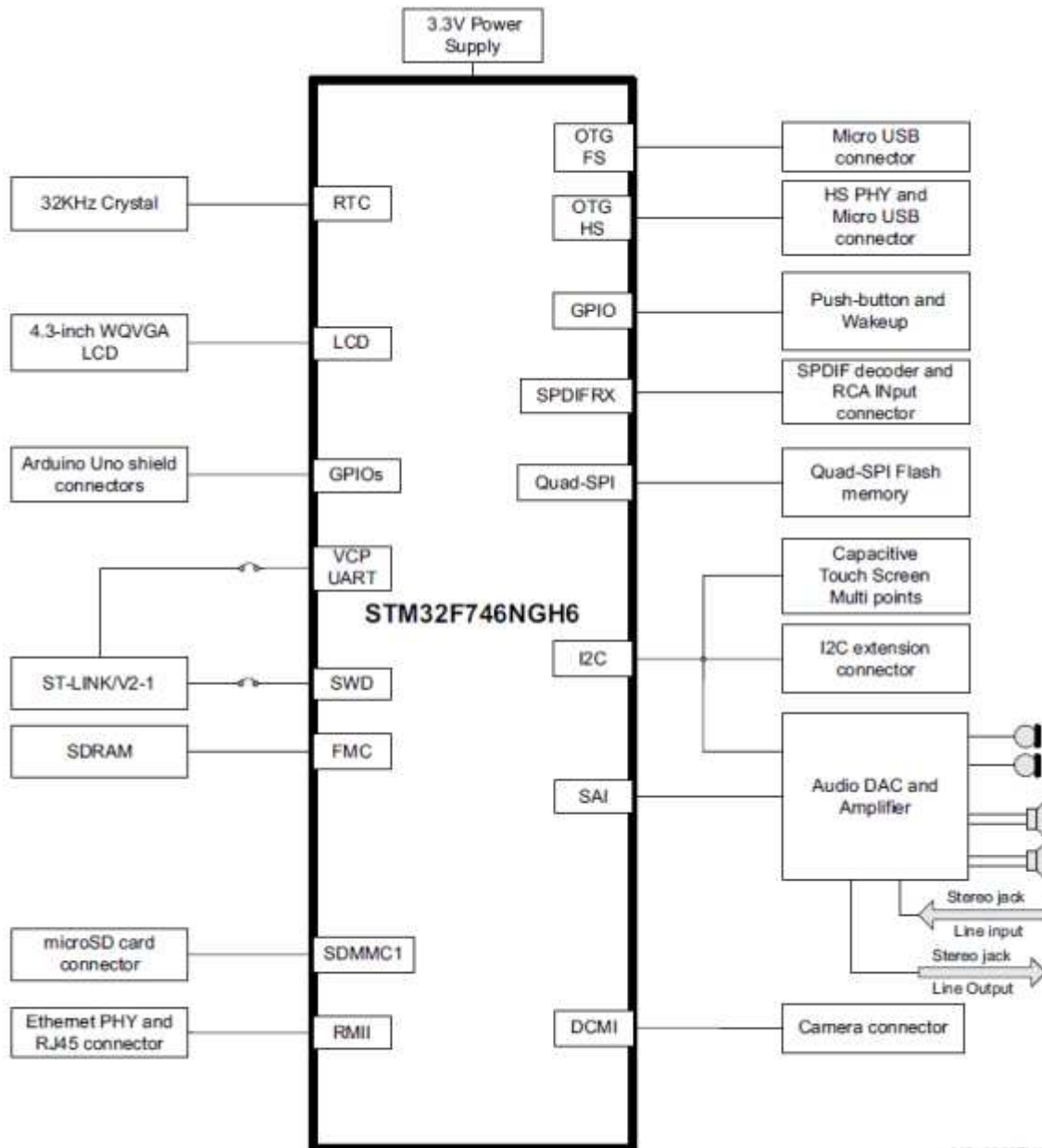
- микроконтроллер STM32F746NGH6, включающий в себя 1 МБ Flash памяти и 340 КБ RAM памяти;
- встроенный ST-LINK/V2-1;
- поддержка mbed.org;
- USB порт может быть настроен как виртуальный COM-порт, устройство хранения и отладочный порт;

Изм.	Лист	№ докум.	Подпись	Дата	MP – 15.03.06 л3	Лист
						38

Лист примен	<ul style="list-style-type: none"> <li>• 4,3" TFT-LCD дисплей, разрешение 480x272, емкостная сенсорная панель;</li> <li>• разъем для подключения камеры;</li> <li>• SAI аудио кодек;</li> <li>• 3,5 мм разъем Line In и Line Out;</li> <li>• стереовыход на наушники;</li> <li>• два MEMS микрофона;</li> <li>• SPDIF RCA вход;</li> <li>• две кнопки;</li> <li>• 128 Мбит Quad-SPI Flash память;</li> <li>• 128 Мбит SDRAM (доступно 64 Мбит);</li> <li>• слот для MicroSD карты;</li> <li>• разъем для подключения дочерней платы RF-EEPROM;</li> <li>• USB OTG HS с разъемом Micro-AB;</li> <li>• USB OTG FS с разъемом Micro-AB;</li> <li>• разъем Ethernet, совместимый с IEEE-802.3-2002;</li> <li>• пять способов питания платы:           <ul style="list-style-type: none"> <li>○ через встроенный ST-LINK/ V2-1;</li> <li>○ через USB FS разъем;</li> <li>○ через USB HS разъем;</li> <li>○ питание через аудиоразъем;</li> <li>○ подключение внешнего источника питания к разъему 5V;</li> </ul> </li> <li>• возможность питать внешние устройства напряжением 3,3 В и 5 В;</li> <li>• разъем для подключения шилдов Arduino UNO V3;</li> <li>• комплексное бесплатное программное обеспечение с набором примеров, являющееся частью STM32Cube;</li> <li>• поддержка основных сред разработки.</li> </ul>				
Справ №	Подпись и дата	Изм №	Взам изм №	Подпись и дата	Подпись и дата
Изм.	Лист	№ докум.	Подпись	Дата	Лист
					39
МР – 15.03.06 ПЗ					

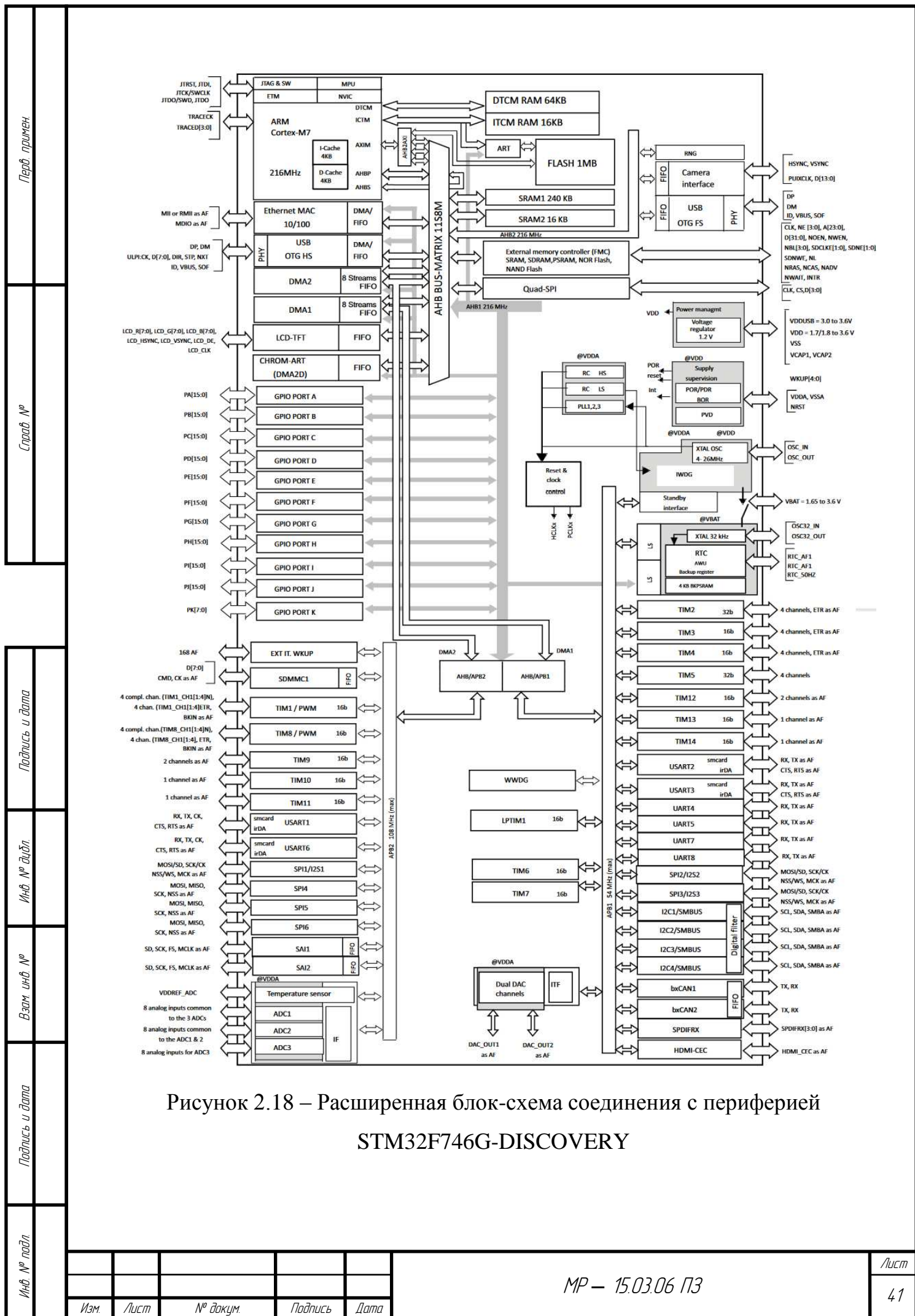
На рисунке 2.17 изображена блок-схема, которая иллюстрирует соединение между микроконтроллером и подключенной к нему периферией отладочной платы.

На рисунке 2.18 изображена периферия МК STM32F746NGH6, использующегося в рекомендованной производителем отладочной плате для быстрого старта STM32F746G-DISCOVERY.



MSv38837V1

Рисунок 2.17 – Блок-схема периферии STM32F746G-DISCOVERY





life.augmented

DISCO-F746NG

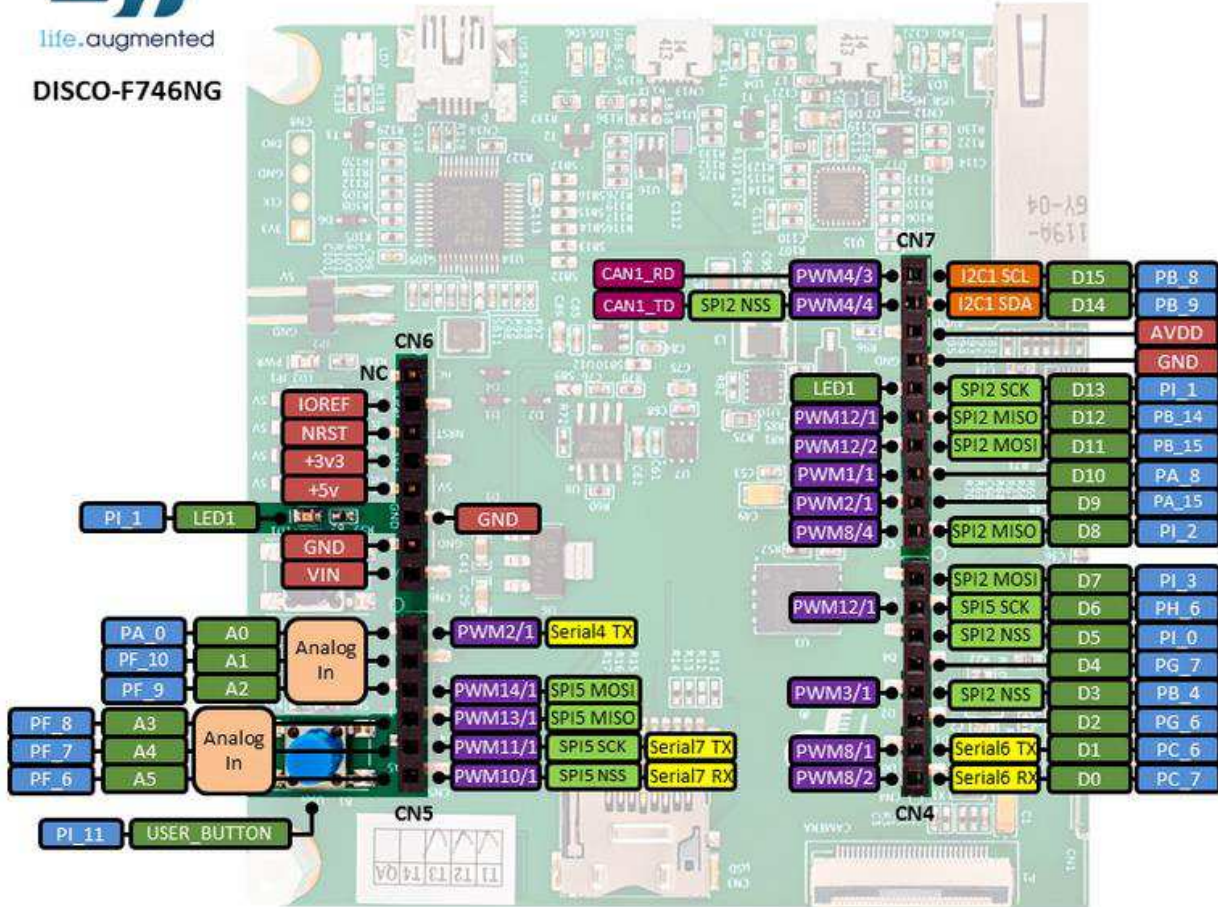


Рисунок 2.19 – Назначения pinов отладочной платы STM32F746G-DISCOVERY

## 2.4 Промежуточные звенья системы

Для того, чтобы полноценно соединить сигналы сервопривода и контроллера необходимы промежуточные звенья для их соответствующего преобразования.

### 2.4.2 Операционный усилитель

Напряжение для задания момента, подаваемое на сервопривод находится в границах от 0 до 10 В, а используемый контроллер способен выдавать напряжение от 0 до 3,3 В. Исходя из этого, для полноценного регулирования (на всём доступном промежутке) необходимо масштабировать сигнал контроллера до 10 В. Для этого, с помощью ЦАП

			Герб применен
			Страница №

		Подпись и дата
		Изм № подп №

Изм	Лист	№ докум.	Подпись	Дата

контроллера будем генерировать сигнал от 0 до 2 В, а затем увеличивать его в 5 раз с помощью схемы на операционном усилителе (рисунок 2.21).

Для реализации схемы на рисунке 2.21 используем операционный усилитель rail-to-rail LM124 (рисунок 2.20). Его характеристики удовлетворяют необходимым условиям.

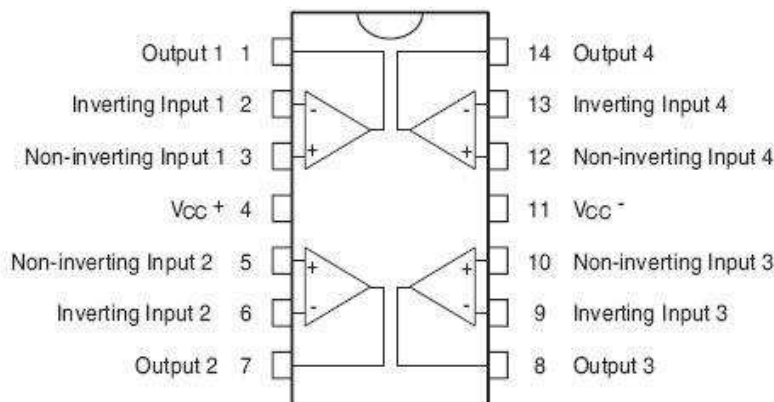
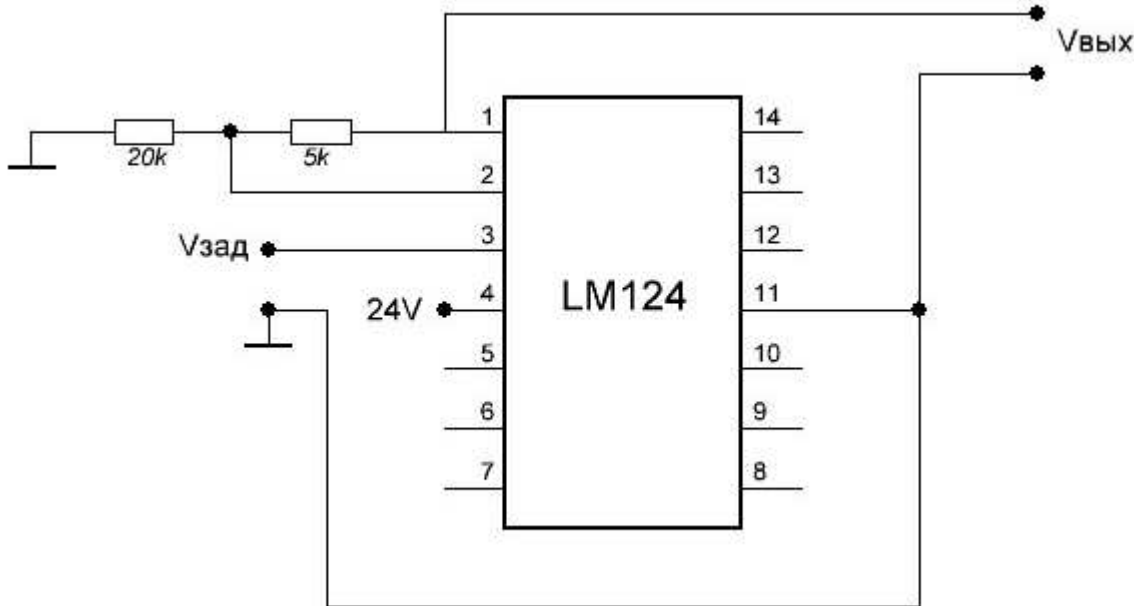


Рисунок 2.20 – Распиновка микросхемы LM124

Основные параметры LM124:

- каналов: 4 шт.;
- $V_{OS}$  (тип.): 5 мВ;
- $I_{BIAS}$  (тип.): 150 нА;
- полоса пропускания (тип.): 1 МГц;
- slew rate (тип.): 0,4 В/мкс;
- CMRR: 80 дБ;
- gain: 110 дБ;
- shutdown: нет;
- $V_{CC}$ : от 3 до 30 В;
- $I_{CC}$  на канал (макс.): 3 мА;
- $T_A$ : от -55 до 125 °C;
- корпус: PDIP 14.



$V_{зад}$  – напряжение с ЦАП контроллера.  $V_{вых}$  – напряжение подаваемое на сервосистему,  $24V$  – напряжение с БП, установленного на стенде (может быть в диапазоне 10-30 В)

Рисунок 2.21 – Схема подключения операционного усилителя LM124 к контроллеру и сервосистеме

#### 2.4.3 Преобразователь дифференциальных сигналов

Имеющийся выход сигналов энкодера имеет дополнительные дифференциальные сигналы (" $/A$ ", " $/B$ ", " $/Z$ ") - инвертированные сигналы  $A$ ,  $B$  и  $Z$  (рисунок 2.22). Для преобразования каждой пары сигналов в один понадобится специальная микросхема – преобразователь дифференциальных квадратурных сигналов интерфейса RS-422. Она сможет сравнивать данные соответствующих каналов (" $A$ " должен соответствовать инвертированному " $/A$ "), для устранения ошибок передачи и помех. В качестве такой микросхемы используем SN75175. Описание контактов микросхемы представлено на рисунке 2.23, логическая схема работы изображена на рисунке 2.24. Схема подключения к контроллеру и сервоприводу показана на рисунке 2.25.

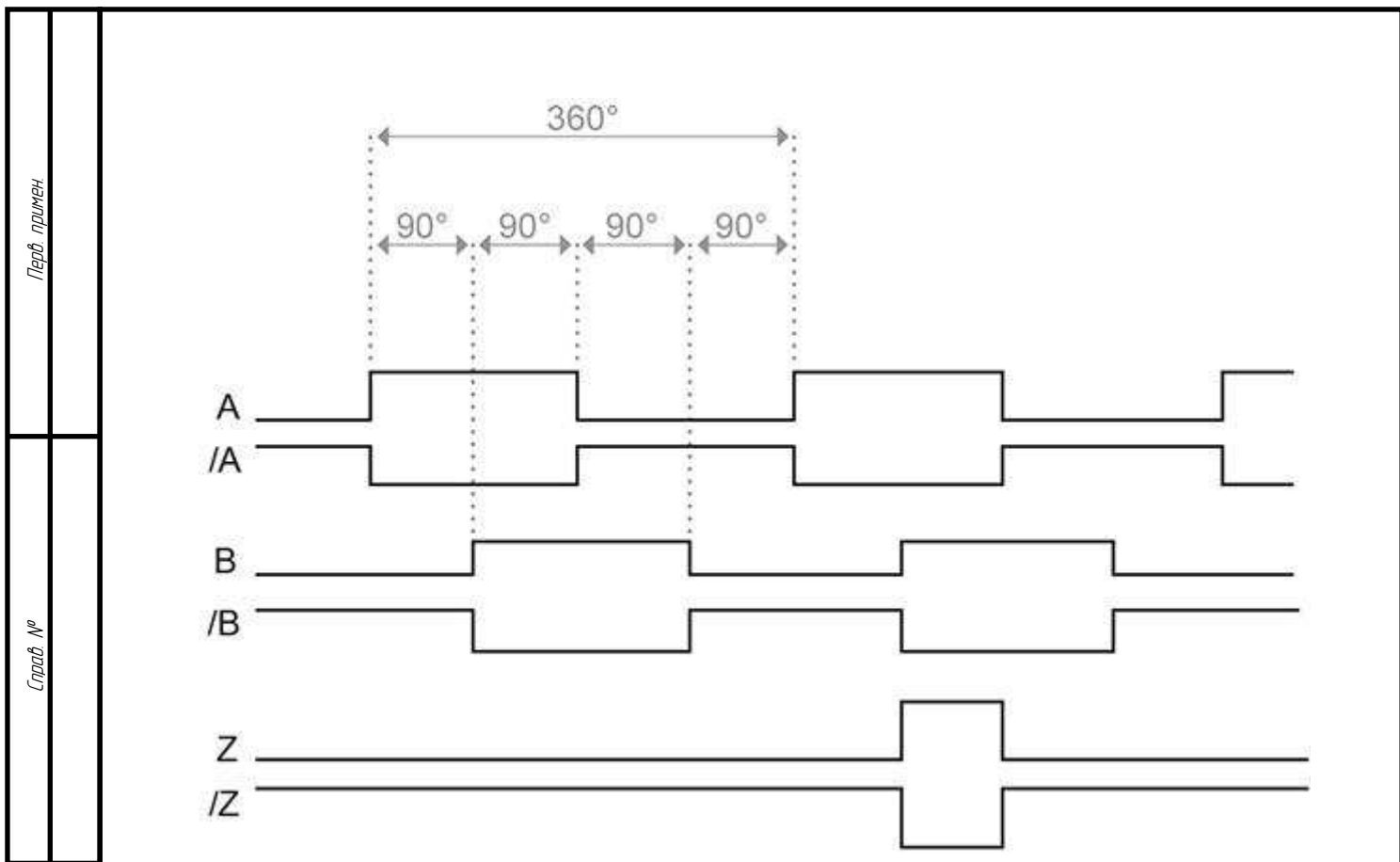
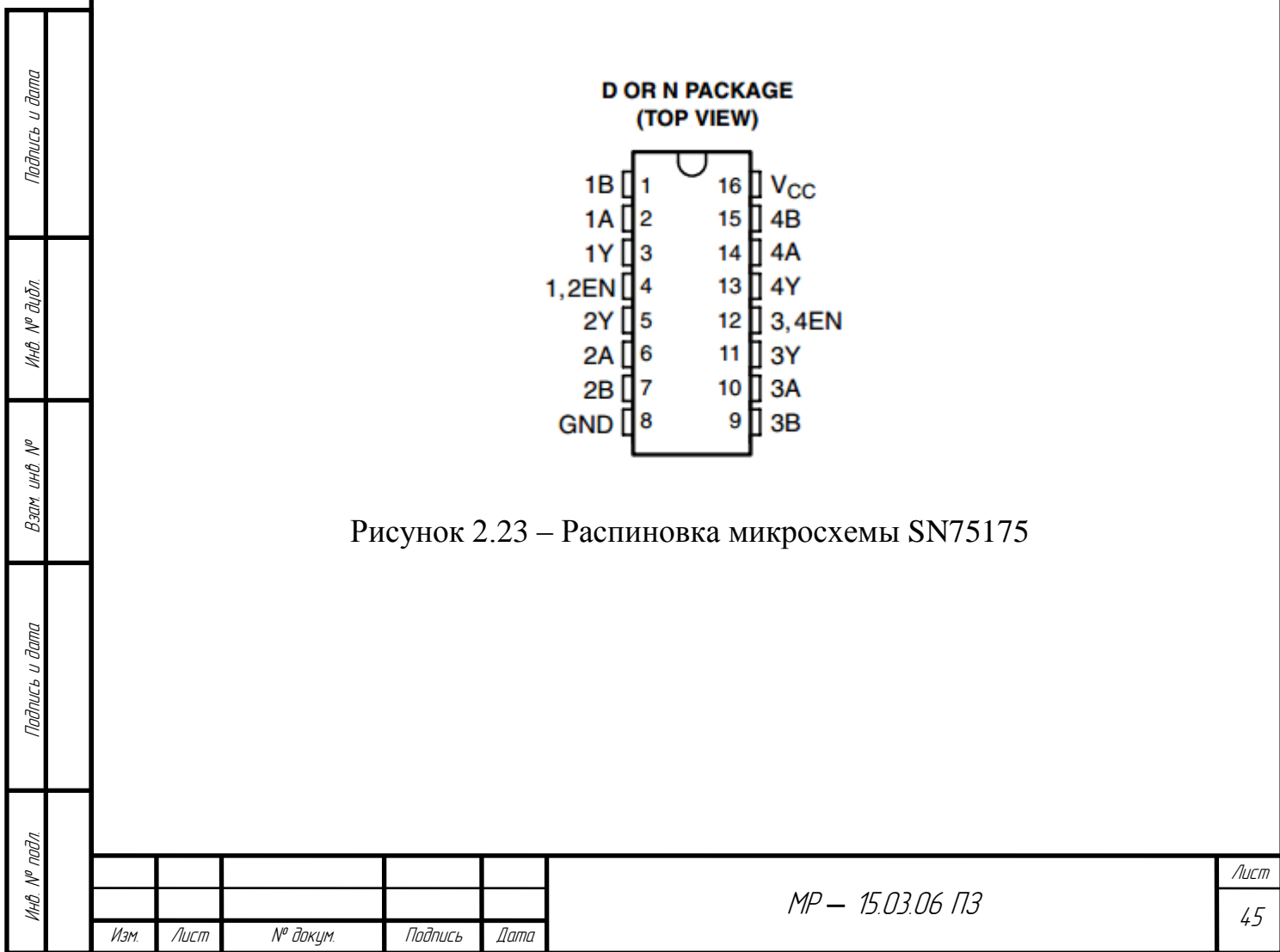


Рисунок 2.22 – Типичная диаграмма импульсов энкодера.



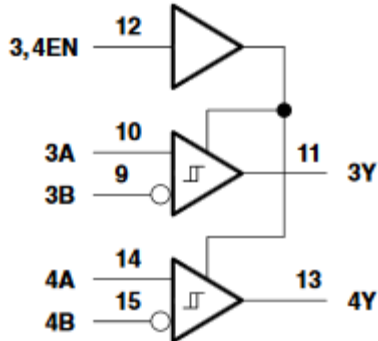
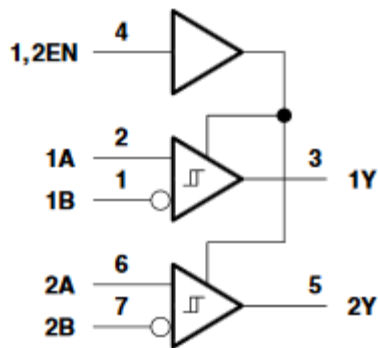
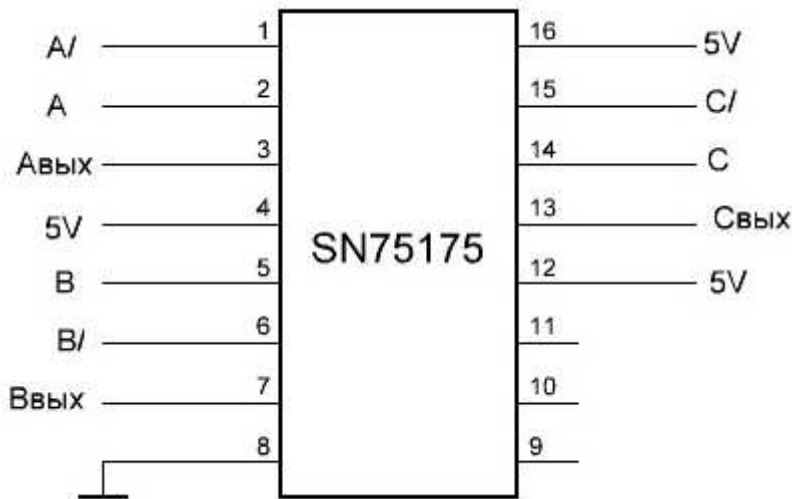


Рисунок 2.24 – Диаграмма работы микросхемы SN75175



Обозначения с индексом «вых» – сигналы входящие в контроллер, без него – выходящие из сервосистемы. 5V – напряжение с импульсного преобразователя, установленного на стенде.

Рисунок 2.25 – Схема подключения преобразователя сигналов SN75175 к контроллеру и сервосистеме.

Инд. № подл	Подпись	Взам. инф №	Инд. № модул	Подпись и дата	Герб примен
Изм.	Лист	№ докум.	Подпись	Дата	MP – 15.03.06 л3

#### 2.4.4 Источник постоянного напряжения

Источником постоянного напряжения является блок питания Siemens PS 307 2 A (рисунок 2.26).

Характеристики:

- выходной ток 2 A;
- выходное напряжение 24 В постоянного тока;
- защита от короткого замыкания и обрыва цепи;
- подключение к однофазной системе переменного тока (входное напряжение 120/230 В переменного тока, 50/60 Гц);
- надежная гальваническая развязка в соответствии с EN 60 950;
- может быть использован как источник питания нагрузки.



Рисунок 2.26 – Внешний вид Siemens PS 307

Инд. № подл.	Подпись и дата	Взам. инф. №	Инд. № инф.	Подпись и дата	Лист
Изм.	Лист	№ докум.	Подпись	Дата	47

МР – 15.03.06 л3

## 2.4.5 Понижающий преобразователь постоянного напряжения

Для питания использующихся микросхем, а также контроллера используется преобразователь постоянного напряжения на основе чипа LM2596 (рисунок 2.27). Он преобразует напряжения от источника питания 24 В в 5 В.

Основные характеристики:

- входное напряжение: 3-38 В;
- выходное напряжение: 1.5-35 В (настраивается);
- максимальный ток: 2 А;
- максимальная мощность: 20 Вт;
- КПД: до 96%;
- размер: 60 x 25 x 15 мм;
- вольтметр на красных семисегментных LED индикаторах.
- вольтметр измеряет как входное, так и выходное напряжение (переключение кнопкой).
- входное напряжение должно превышать выходное минимум на 3 В.

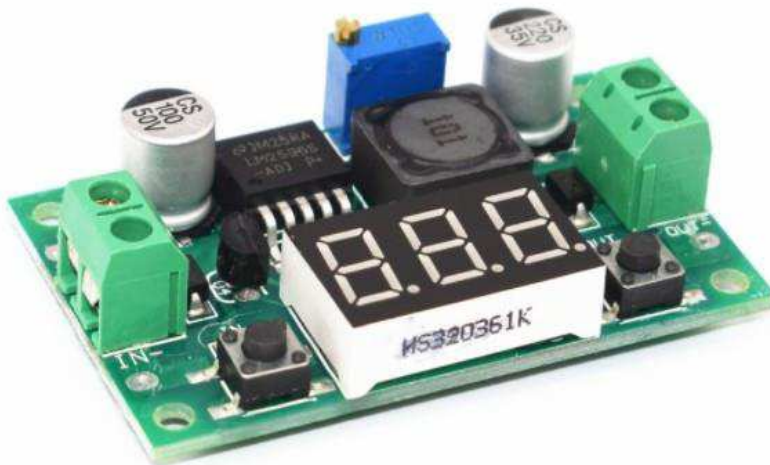


Рисунок 2.27 – Внешний вид преобразователя постоянного напряжения

Инд. № подл.	Подпись и дата	Взам. инф. №	Инд. № модел.	Подпись и дата	Лист
Изм.	Лист	№ докум.	Подпись	Дата	48

МР – 15.03.06 л3

## 2.5 Схема соединения узлов системы

Суммируя предоставленную информацию о устройствах, составим схему их подключения друг к другу (рисунок 2.28).

К сервосистеме подключается серводвигатель и энкодер имеющийся на нём. Также подключается источник переменного и постоянного напряжения. Используемые сигналы разъёма CN1 подключаются к плате согласования сигналов. Плата согласования сигналов подключается к контроллеру STM32. Контроллер подключается к дисплею с touch-панелью.

Все подключения производятся в соответствии со схемой.

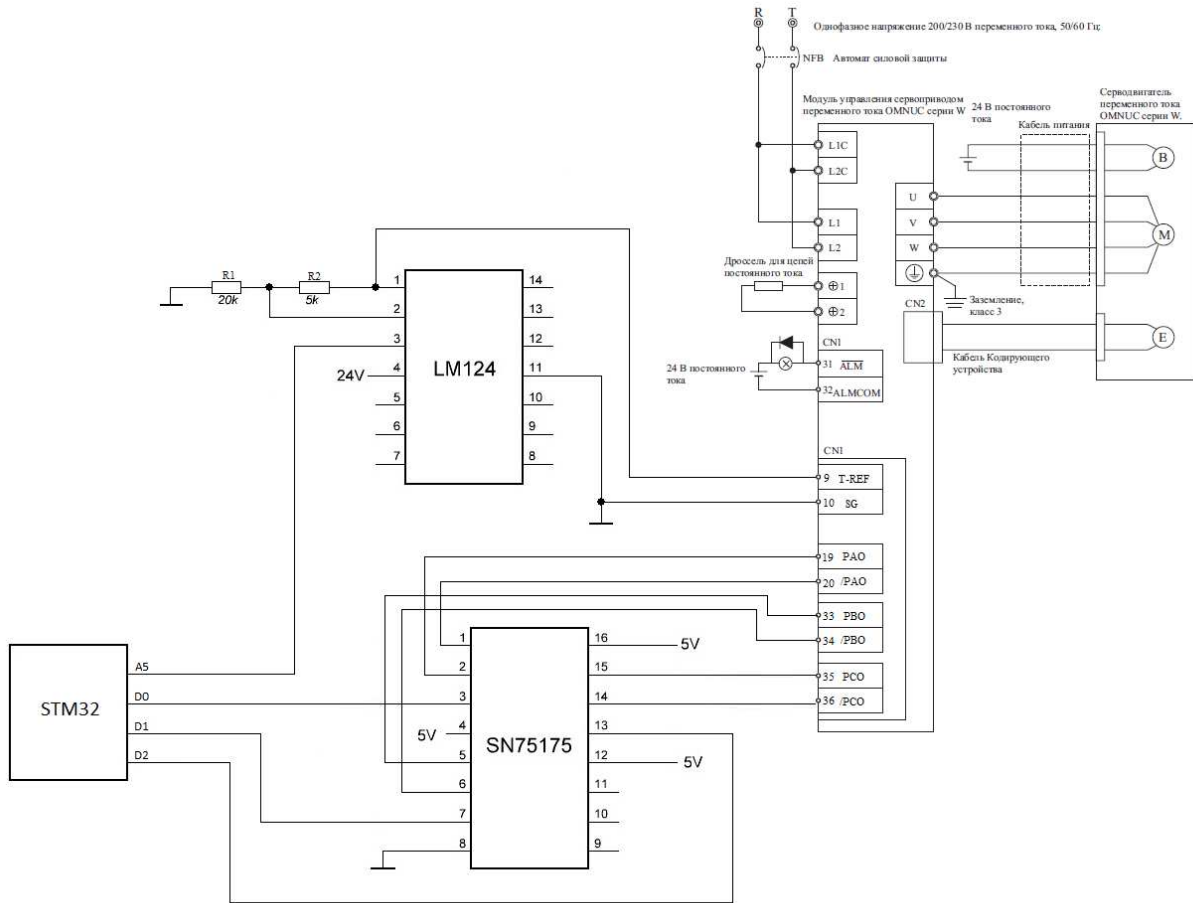


Рисунок 2.28 – Принципиальная схема бегового тренажёра

### 3 Результат работы модели сервопривода в MATLAB

Модель сервопривода в среде MATLAB Simulink (рисунок 3.1) демонстрирует поддержание заданного крутящего момента в синхронной машине.

В модели демонстрируется управление моментом вращения двигателя. В качестве нагрузки используется идеальный источник момента. Система контроля основана на ПИ-регуляторе, который обеспечивает момент соответствующий заданию.

В моделировании задаётся ступень крутящего момента. Система визуализации позволяет наблюдать результаты моделирования.

На графике результатов (рисунки 3.2, 3.3) представлены значения задания момента. Был проведен эксперимент на модели сервопривода настроенного на поддержание момента. Получены оцененные и измеренные значения крутящего момента в моменты времени. Полученные значения соответствуют заданию.

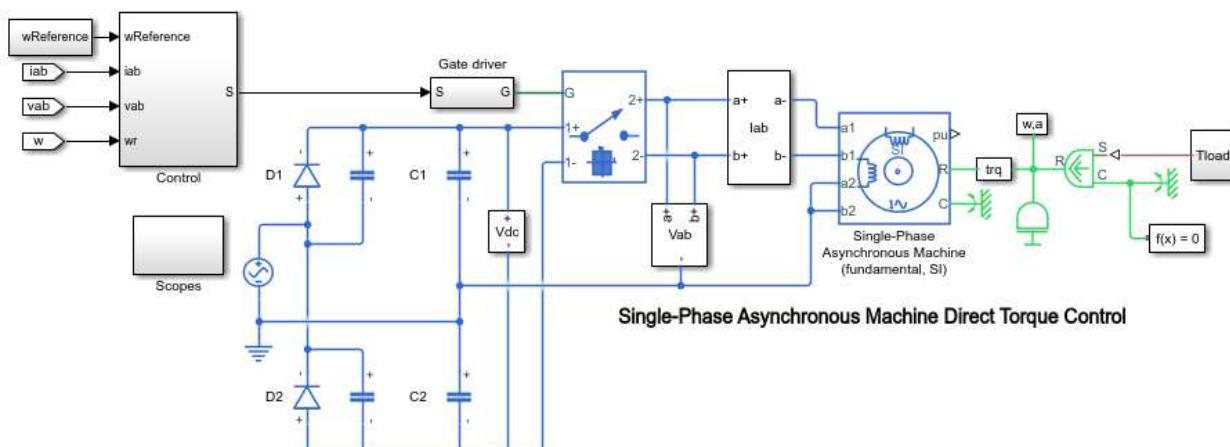


Рисунок 3.1 – Схема модели сервопривода в Simulink.

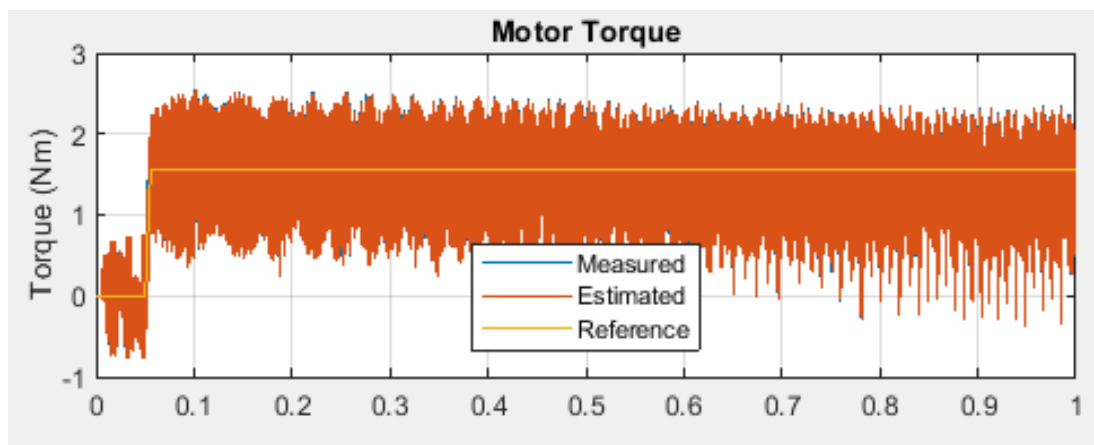


Рисунок 3.2 – График изменения момента во времени.

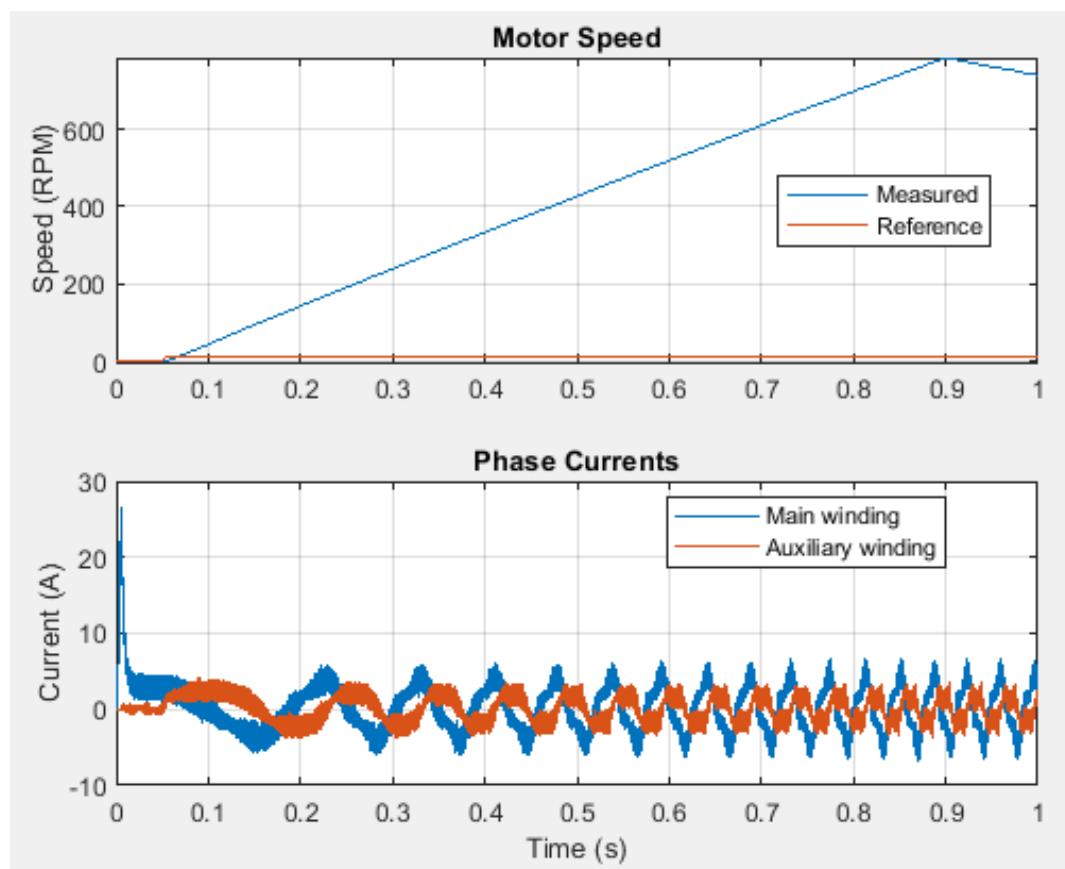


Рисунок 3.3 – График изменения скорости и токов во времени.

Ид. № подл	Подпись и дата	Взам. инф №	Ид. № докл	Подпись и дата	Ид. № докл	Подпись и дата	Лист	Изм.

MP – 15.03.06 ПЗ

Лист	51
------	----

## 4 Разработка программы для взаимодействия с пользователем

Для контроллера STM32 была написана обработки и генерации сигналов состояния и управления системой была написана программа на языке С в среде Keil uVision5.

### 4.1 Библиотека HAL

При написании программы для контроллера использовалась библиотека HAL.

Драйверы уровня HAL представляют собой комплект универсальных, многофункциональных, и одновременно простых интерфейсов API, предназначенных для взаимодействия МК с верхним слоем ПО (основной программой, библиотеками и стеками). Драйверы могут иметь как общий, так и расширенный API. Общие API, которые обеспечивают общие, для всех серий STM32, функции. Расширенные API, которые содержат специфические или индивидуальные функции для данного семейства или его части.

HAL разработан для применения такой архитектуры программирования, когда необходимые функции выполняются верхним слоем приложения, за счет применения промежуточного уровня HAL. При такой архитектуре программирования верхний уровень приложения не "привязан" к микроконтроллеру (МК), т.к обращается к ресурсам МК только через библиотеку драйверов HAL. Такая структура пользовательского приложения улучшает повторное использование кода, и гарантирует его легкую переносимость на другие устройства STM32.

Драйверы HAL предоставляют полный набор готовых к использованию API, которые упрощают реализацию пользовательского приложения. В качестве примера - встроенные устройства коммуникации (связи) содержат интерфейсы API для инициализации и настройки устройства, управления передачей данных на основе опроса, в прерываниях или через DMA, а так же для управления ошибками связи.

Драйверы HAL являются функционально-ориентированными, а не ориентированы на внутренние периферийные устройства. Например, API таймера делится на несколько категорий, по функциям, предоставляемым внутренним устройством таймера: базовый таймер (basic timer), захвата (capture), широтно-импульсной модуляции (PWM), и т.д.

Исходный код библиотеки драйверов разработан в соответствии со Strict ANSI-C, что делает код независимым от инструментов разработки.

Драйверы слоя HAL реализуют обнаружение ошибок во время выполнения (run-time failure detection). HAL проверяет входные значения всех функций. Такая динамическая проверка способствует повышению надежности встроенного ПО. Обнаружение ошибок во время выполнения программы, также, способствует ускорению разработки пользовательских приложений и процесса отладки.

Драйверы HAL были разработаны таким образом, чтобы предоставить разработчику максимально широкий набор функций, в интерфейсах API, и упростить взаимодействие верхних слоев приложений с МК.

Каждый драйвер состоит из набора функций, охватывающих наиболее распространенные возможности конкретного периферийного устройства. При разработке каждого драйвера применена общая структура API-интерфейсов, которая стандартизирует структуру драйвера, его функции и имена параметров.

Драйверы HAL состоят из набора модулей драйверов, каждый модуль осуществляет связь с отдельным периферийным устройством. Тем не менее, в некоторых случаях, модуль связан с функциональным режимом (функцией) периферийного устройства.

Библиотека HAL широко используется в профессиональной разработке устройств на базе микроконтроллеров STM32.

## 4.2 Обработка сигналов состояния

У энкодера есть два канала: А и В. При вращении двигателя энкодер на этих выводах генерирует 2 сигнала, смещенные относительно друг друга по фазе на 90 градусов. В зависимости от направления вращения вала двигателя сигнал А либо опережает сигнал В на 90 градусов, либо запаздывает (рисунок 4.1). Также энкодер имеет канал Z, который выдает один импульс после каждого полного оборота.

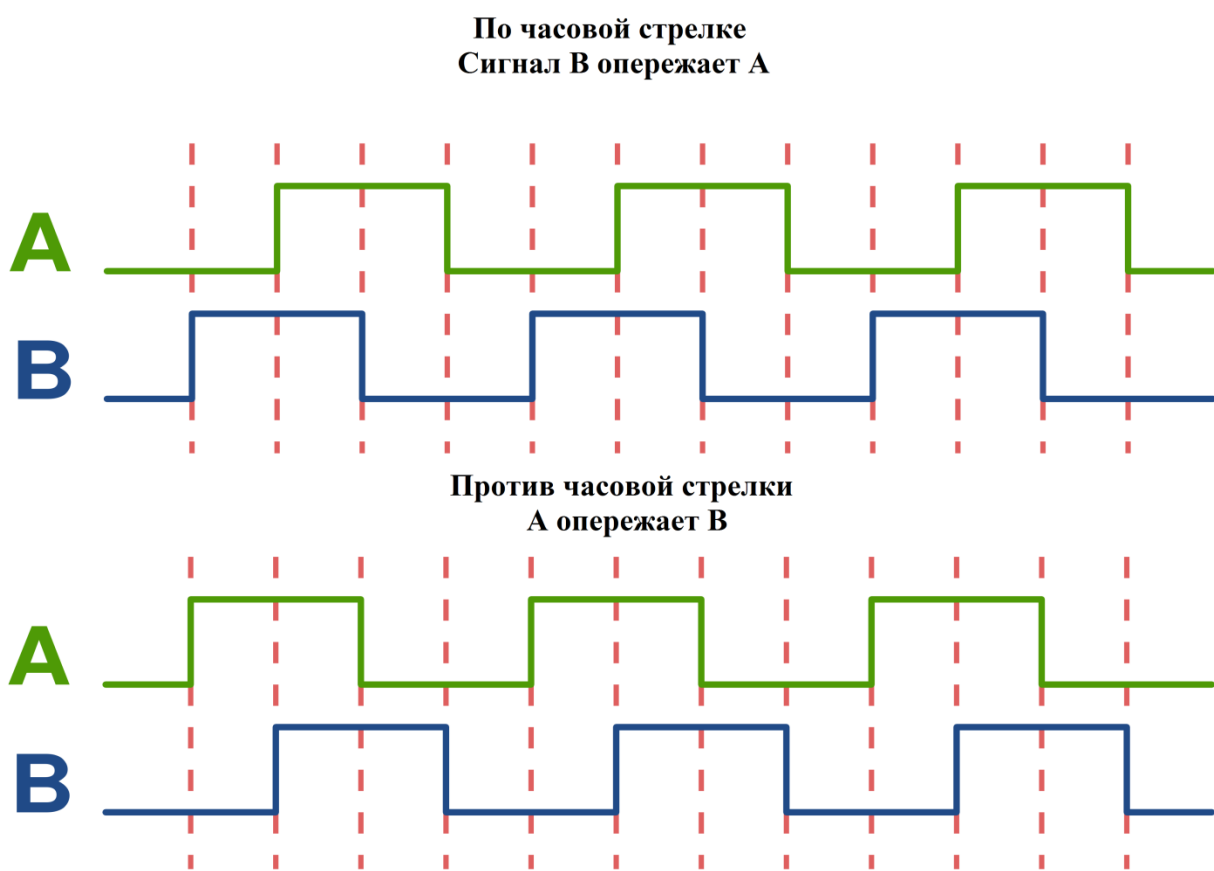


Рисунок 4.1 – Сигналы энкодера при вращении вала двигателя

Сигналы можно считывать программно. Однако STM32 обладает специальным интерфейсом, который и обрабатывает данные с энкодера и изменяет на их основе значение счетного регистра в меньшую или большую сторону в зависимости от направления вращения. Интерфейс реализуется через 2 канала одного из продвинутых таймеров (advanced timers).

Инд. № подл	Подпись и дата	Взам. инф №	Инд. № докл	Подпись и дата	Год/признак	Страница №	Лист
Изм.	Лист	№ докум.	Подпись	Дата			
					MP – 15.03.06 л3		54

Сигналы с входов проходят через цифровой фильтр, затем поступают в детектор фронтов. Входной цифровой фильтр нужен для устранения дребезга контактов и, по сути, представляет собой, декрементирующий счётчик, физически дребезг, конечно, не пропадает, но за счёт применения специального алгоритма система его не «чувствует». Детектор фронтов, в зависимости от того возрастающий или спадающий сигнал, устанавливает 1 на соответствующем выводе, **TI1F\_Rising** – возрастающий и **TI1F\_Falling** – спадающий. Далее, сигналы попадают в мультиплексор, определяющий по какому фронту производится захват, а затем в мультиплексор выбора выхода (рисунок 4.2).

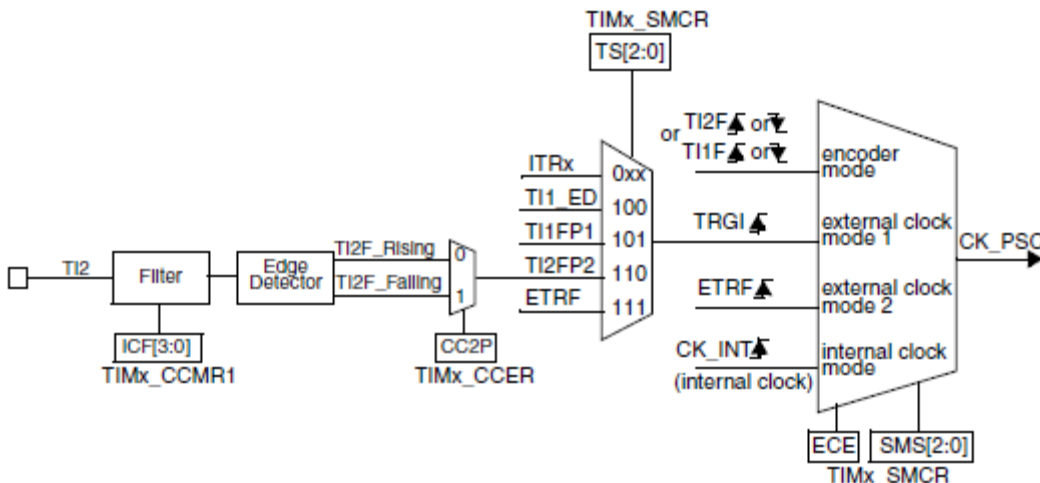


Рисунок 4.2 – Обработка сигналов с энкодера

Ниже изображена картинка, отражающая алгоритм работы цифрового фильтра (рисунок 4.3), предположим, что нам известно что сигнал нестабилен в течение 5 выборок, тогда после перехода в новое состояние, в течение 8 выборок (возьмём с запасом), микроконтроллер не должен реагировать на изменение состояния входа. Если через 8 выборок состояние сигнала подтверждается, он передаётся на выход TI1F.

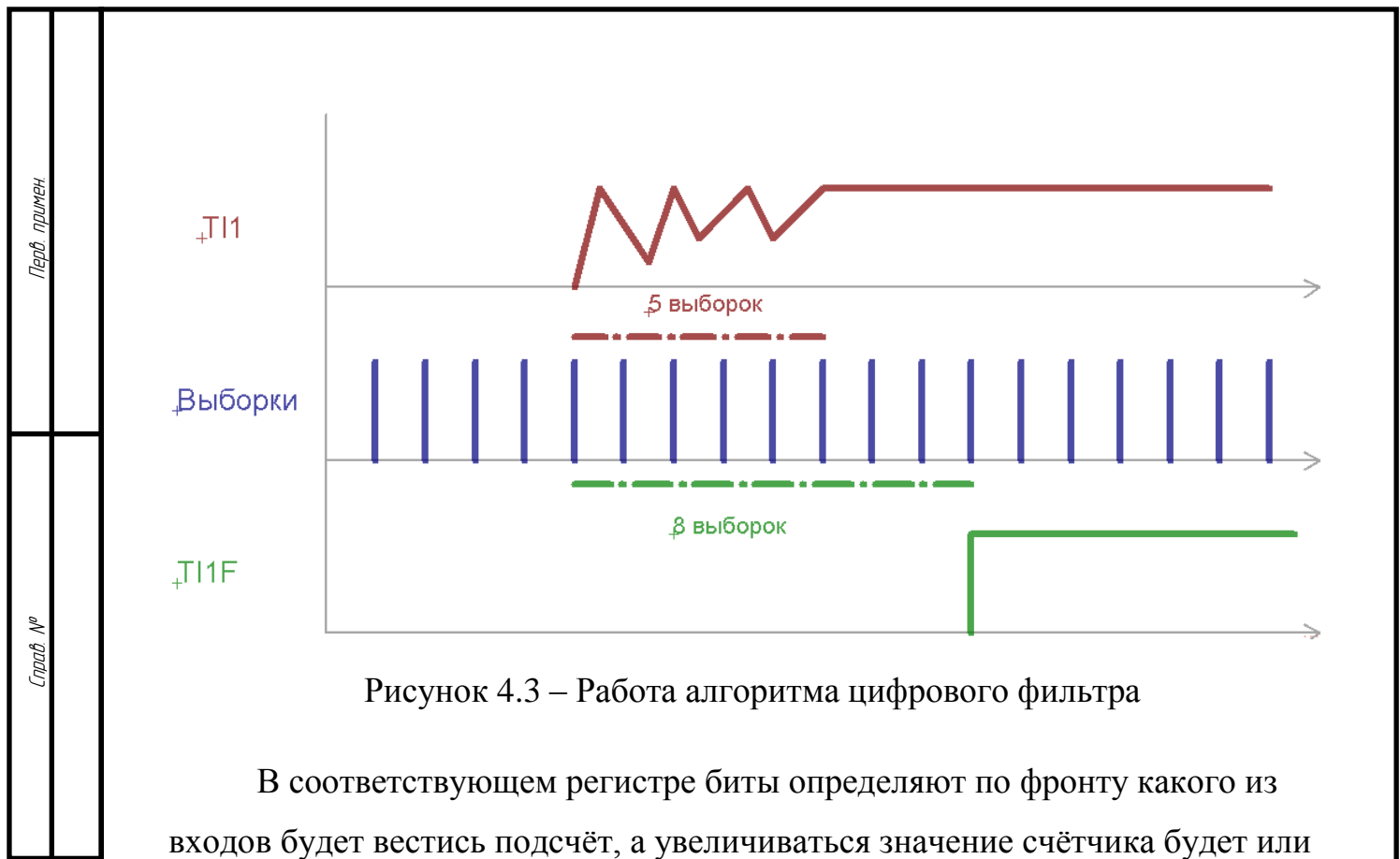


Рисунок 4.3 – Работа алгоритма цифрового фильтра

В соответствующем регистре биты определяют по фронту какого из входов будет вестись подсчёт, а увеличиваться значение счётчика будет или уменьшаться зависит от состояния другого входа, это можно увидеть на картинке ниже (рисунок 4.4).

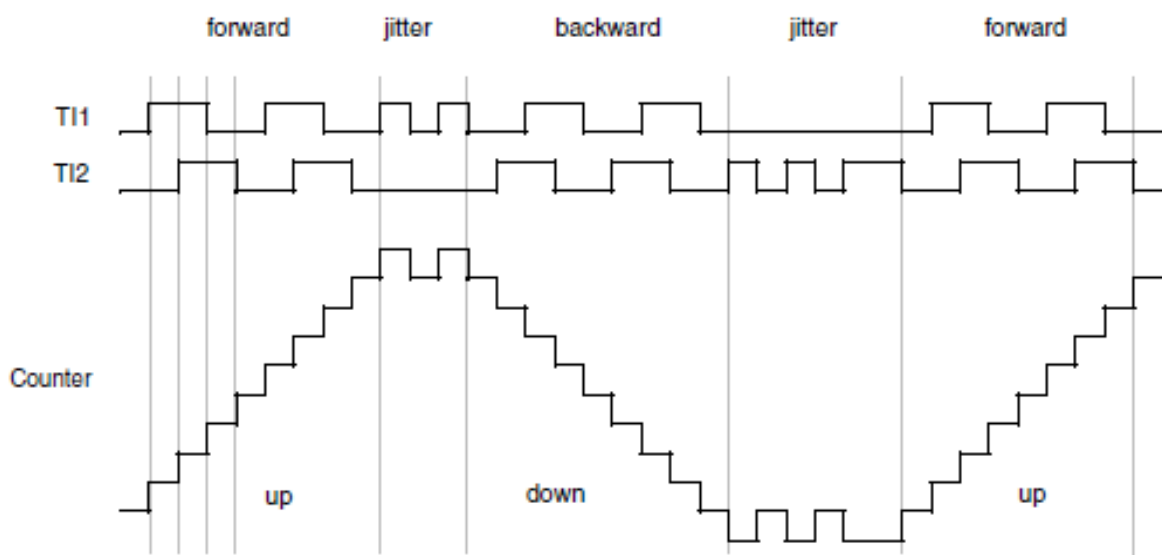


Рисунок 4.4 – Работа счётчика импульсов энкодера

Инд. № подл.	Подпись и дата	Взам. инф. №	Инд. № дубл.	Подпись и дата
Изм.	Лист	№ докум.	Подпись	Дата
MP – 15.03.06 л3				
Лист 56				

### 4.3 Генерация сигналов управления

Управляющий сигнал генерируется с помощью ЦАП в виде напряжения от 0 до 2 В.

Модуль ЦАП представляет собой 12-ти разрядный преобразователь цифровых данных в напряжение. ЦАП может быть сконфигурирован в 8-ми или 12-ти битный режим, может быть использован в сочетании с контроллером DMA. В 12-ти битном режиме данные могут выравниваться по правому или по левому краю. ЦАП содержит два канала, каждый из которых содержит независимый преобразователь. В двухканальном режиме преобразование может выполняться независимо или одновременно, когда оба канала группируются для синхронного запуска. Вывод опорного сигнала VREF+ доступен для изменения разрешения. Структурная схема ЦАП представлена на рисунке 4.5.

Основные характеристики ЦАП:

- двацифроаналоговых преобразователя, каждый имеет свой выход;
- 8-ми и 12-ти битный режим;
- выравнивание данных по левому или правому краю в 12-ти разрядный режим;
- возможность синхронного обновления;
- генерирование шума;
- генерирования треугольных импульсов;
- независимое или одновременное преобразование в каналах;
- использование DMA для обоих каналов;
- внешний запуск преобразований;
- вход опорного напряжения.

Изм. № подл.	Подпись и дата	Взам. избл №	Избл. № избл.	Подпись и дата	Лист
Изм.	Лист	№ докум.	Подпись	Дата	57

MP – 15.03.06 ПЗ

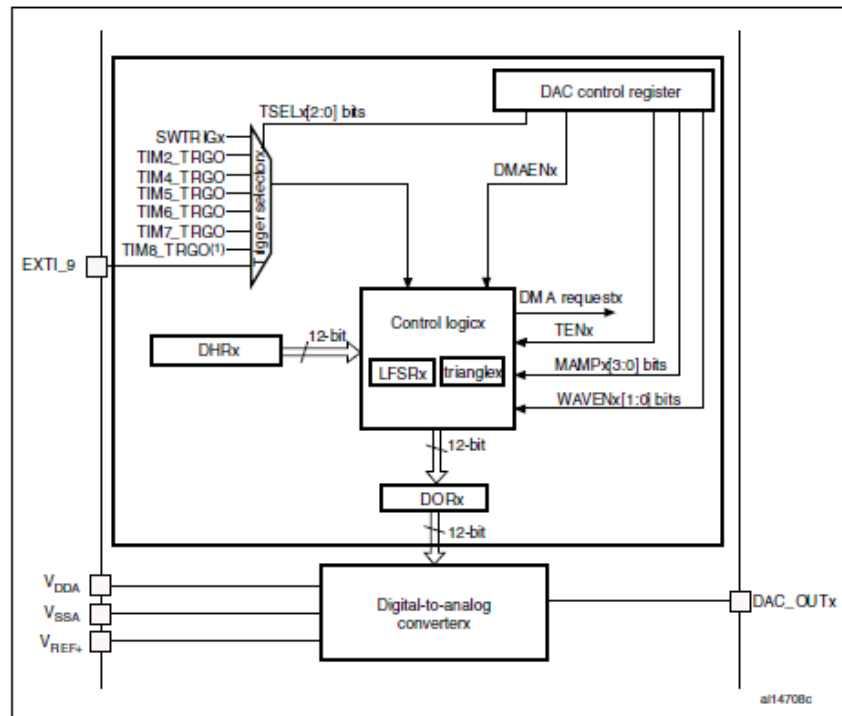


Рисунок 4.5 – Структурная схема ЦАП

#### 4.4 Библиотека emWin

Для реализации графического интерфейса использовалась бесплатная графическая библиотека emWin.

Библиотека emWin, разработанная компанией SEGGER, предоставляет надежный, эффективный графический интерфейс пользователя для любых приложений с графическим ЖК-дисплеем. С помощью emWin можно выполнить базовый дизайн пользовательского интерфейса – для этого необходимо автономное инструментальное средство, которое позволяет разделить процессы проектирования интерфейса пользователя и разработки микропрограммного обеспечения и тем самым ускорить создание приложений для ЖК-дисплеев в потребительской электронике, бытовой технике, медицинских приборах и промышленном оборудовании. Библиотека emWin совместима с однозадачными, и многозадачными средами и подходит для использования с микроконтроллерами Cortex-M0, Cortex-M3, Cortex-M4, ARM7™ и ARM9™.

## 4.5 Интерфейс LTDC

Для взаимодействия с пользователем в системе используется монитор. Чтобы подключить его к контроллеру будет использоваться LTDC (рисунок 4.6).

Данный модуль периферии по своей сути является контроллером, который обычно стоит на стороне дисплея, например, SSD1963 и ему подобные. Если посмотрим на структуру LTDC, то увидим, что физически это параллельная шина на 24 бита + аппаратный ускоритель графики + массив данных в ОЗУ, который является по факту буфером дисплея (frame buffer).

На выходе мы имеем обычную параллельную шину, которая в себе содержит 24 бита цвета (по 8 бит на цвет модели RGB), линии синхронизации, линия включения/отключения дисплея и pixel clock. Последний по факту является сигналом тактирования по которому загружаются пиксели в дисплей, то есть если частота у нас 9.5 МГц, то за 1 секунду мы можем загружать 9.5 млн. пикселей. В теории, на практике цифры несколько скромнее из-за таймингов и прочего.

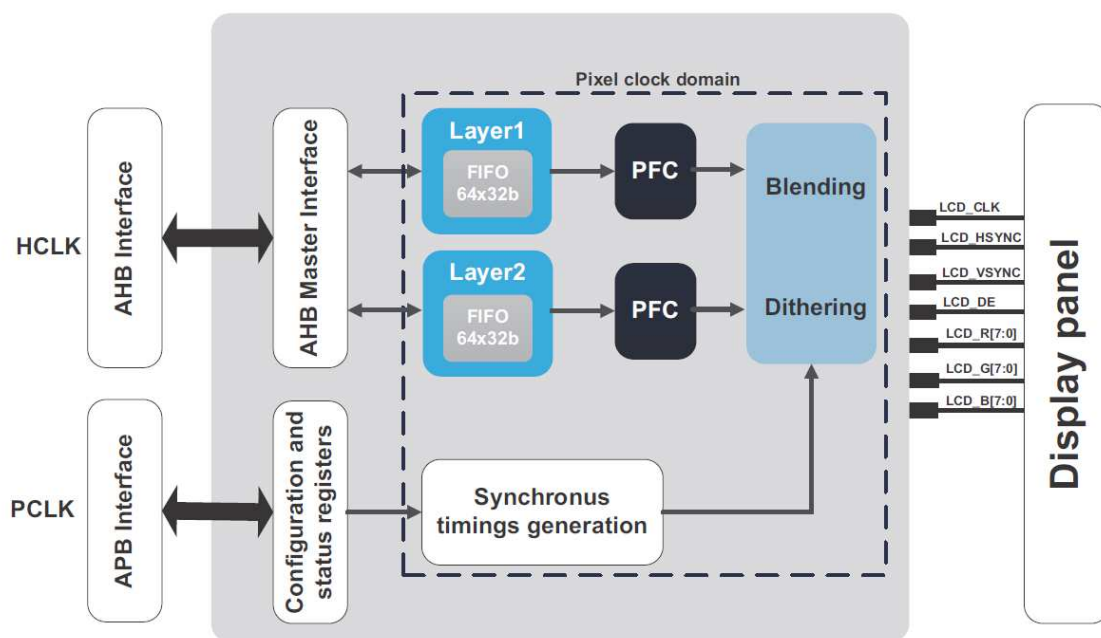


Рисунок 4.6 – Схема модуля LTDC

## 4.6 Графический интерфейс

Пользовательский интерфейс позволяет управлять усилием, создаваемым тренажёром, и наблюдать скорость, которую развивает бегун в процессе тренировки.

Ползунок в правой части экрана позволяет устанавливать значение силы тяги. Перемещение ползунка вверх увеличивает силу тяги, перемещение вниз – уменьшает. Данный элемент интерфейса не запускает тренажёр, таким образом, необходимое значение силы можно установить как до начала тренировки, так и во время её.

В нижней правой части экрана, слева от ползунка находится текстовое поле в котором отображается значение силы тяги, установленное ползунком. Справа от значения указаны единицы измерения.

Наибольшим элементом интерфейса, расположенным по центру экрана является график скорости по времени, которая регистрировалась в процессе тренировки. При каждом новом старте тренировки старые значения на данном графике очищаются и строятся новые.

По нажатию кнопки, расположенной посередине экрана внизу, на валу двигателя происходит установка выбранной силы и начинается регистрация скорости, которая отображается на графике по центру экрана.

Для того, чтобы прекратить регистрацию скорости нужно нажать кнопку ещё раз.

Слева внизу отображается текущая скорость спортсмена. Справа от неё указаны единицы измерения.

Общий вид интерфейса представлен на рисунке 4.7.

Изм.	Лист	№ докум.	Подпись	Дата	Лист	60
ИЗМ.	Лист	№ докум.	Подпись	Дата	MP – 15.03.06 л3	

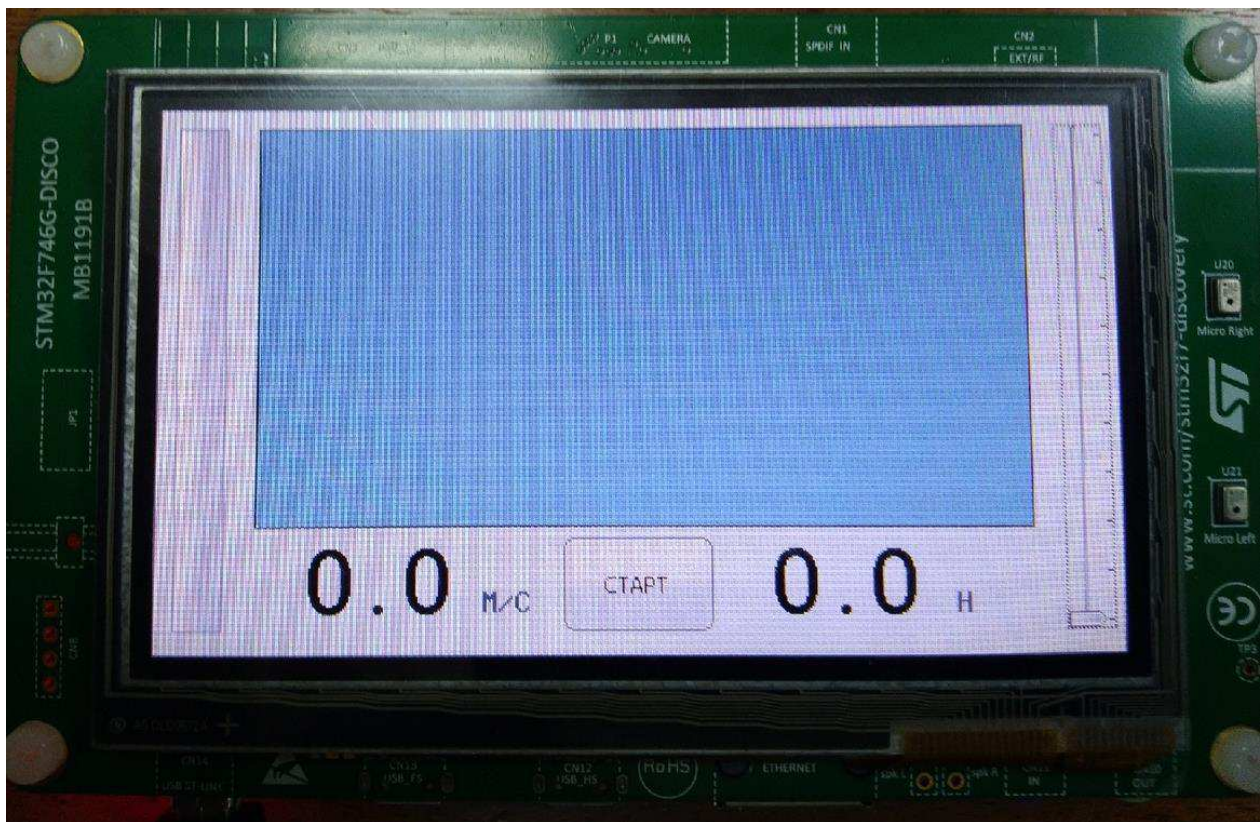


Рисунок 4.7 – Пользовательский интерфейс

## **5 Экономический расчёт**

Для расчета экономической эффективности проекта необходимо вычислить его себестоимость, рассчитать цену, наценку и выявить чистую прибыль. Себестоимость — это суммарные расходы на производство и реализацию продукции.

Себестоимость включает в себя:

- основные материалы, покупные изделия (M);
  - электроэнергию на технологические цели (Эл.);
  - оплату труда (Z);
  - отчисления на социальные нужды (Соц.);
  - амортизационные отчисления (A.);
  - прочие расходы (Пр.).

## 5.1 Расчет затрат стоимости материалов

Стоимость материалов определяется методом сметного калькулирования, основанном на прямом определении затрат по отдельным статьям.

$$M = \sum_{i=1}^n N_{mi} \cdot Z_{mi} \cdot K_{tz} + \sum_{j=1}^m N_{nj} \cdot Z_{nj} \cdot K_{tz}, \quad (5.1)$$

где:

М - стоимость материалов и покупных изделий;

n - число позиций применяемых материалов;

m - номенклатура применяемых покупных изделий;

$N_{mi}$  - расход материалов (уп., шт.);

$Z_{mi}$  - цена материала (руб./уп., руб.);

$N_{nj}$  - количество покупных изделий (шт.);

$Z_{nj}$  - цена покупных изделий (руб.);

$K_{tz}$  - коэффициент транспортно-заготовительных расходов;

$K_{tz} = (1,03 \dots 1,05)$ .

Таблица 5.1 - Затраты на материалы и покупные изделия

№ п/п	Наименование материалов, покупных изделий и п/фабрикатов	Коли-чество, шт.	Цена ед., руб.	Сумма, руб.	Итого матер. затрат, руб.
1.	Сопутствующие материалы				
1.1	Соединительные элементы			1000,00	1000,00
1.2	Радиодетали			500,00	500,00
1.3	Инструменты			1000,00	1000,00
	Итого				2500,00
2.	Покупные изделия				
2.1	Сервосистема Yaskawa Sigma II	1	15000,00	15000,00	15000,00
2.2	Плата STM32F746G-discovery	1	6000,00	6000,00	6000,00
2.3	Персональный компьютер	1	40000,00	40000,00	40000,00
	Итого				21000,00
Всего затрат на материалы и покупные изделия					63500,00

Изм.	Лист	№ докум.	Подпись	Дата

MP – 15.03.06 л3

Лист

62

## 5.2 Расчет затрат электроэнергии на технологические цели

Затраты на электроэнергию для технологических целей (Эл.) определяется по формуле:

$$\text{Эл.} = K \cdot T \cdot Ц, \text{ где} \quad (5.2)$$

$K$  - потребление электроэнергии компьютером в час, кВт;

$T$  - сроки разработки программы, час;

$Ц$  - стоимость кВт/час, руб.

Таблица 5.2 - Затраты электроэнергии на технологические цели

Потребление электроэнергии компьютером, кВт/час	Стоимость 1 кВт, руб.	Сроки разработки программ, час.	Сроки разработки программы, дн.	Итого затраты на электроэнергию, руб.
0,5	2,55	500	9	637,50

## 5.3 Расчет оплаты труда

В состав основной заработной платы включается премия, выплачиваемая ежемесячно из фонда заработной платы в размере 20 – 30 % от тарифа или оклада. Расчет основной заработной платы сводится в табл.

Среднедневная заработка рассчитывается по формуле:

$$\text{Дневная з/плата} = \frac{\text{Месячный оклад}}{25 \text{ дней}}; \quad (5.3)$$

Расчеты затрат на основную заработную плату приведены в таблице 3. При расчете учитывалось, что в году 302 рабочих дня и, следовательно, в месяце 25 рабочих дней. Районный коэффициент  $K_{РК}=1,69$ .

Таблица 5.3 - Расчет затрат на основную заработную плату

Оклад, руб.	Среднедневная ставка, руб./день	Затраты времени, дни	Коэффициент	Фонд з/платы, руб.
16751,29	993,25	50	1,69	83929,62

## 5.4 Отчисления на социальные нужды

В 2019 г. ставки страховых взносов составляют 30% от размера заработной платы.

$$\text{Соц.} = Z \cdot 30\%, \text{ где} \quad (5.4)$$

Соц. - страховые взносы,

Z - размер заработной платы.

$$\text{Соц.} = 33571,85 \cdot 0,30 = 25178,88 \quad (5.5)$$

## 5.5 Амортизационные отчисления

При линейном способе годовая сумма амортизационных отчислений определяется исходя из первоначальной стоимости объекта основных средств и нормы амортизации, исчисленной исходя из срока полезного использования этого объекта и составляет 20 %. Годовые амортизационные отчисления вычисляются по формуле:

$$\text{Сам} = (\text{Скомп} \cdot 20) / 100, \text{ где} \quad (5.6)$$

Сам - сумма годовых амортизационных отчислений (линейный способ);

С комп - стоимость ЭВМ.

$$\text{Сам} = (40\,000 \cdot 20) / 100 = 8\,000 \text{ (руб.)} \quad (5.7)$$

Исходя из суммы годовых амортизационных отчислений, учитывая среднее количество рабочих дней в году (240 дней), вычисляется сумма амортизационных отчислений за время выполнения разработки (дни или месяцы). Затраты на амортизационные отчисления: 660 руб.

Таблица 5.4 - Затраты на амортизационные отчисления

Стоймость компьютера, руб.	Сумма годовой амортизации, руб.	Сумма ежедневной амортизации (240 раб. дней)	Итого амортизационные отчисления, руб.
40 000	8000	33,33	1666,50

## 5.6 Прочие расходы

К прочим расходам (Пр.) относятся коммерческие расходы, в том числе затраты на рекламу, размещение и продвижение сайта и пр.

Данный ПП разрабатывался под конкретного заказчика, поэтому данной статьи расходов нет.

Общая себестоимость программы.

Вычисляется по формуле:

$$СЕБ = М + Эл + Z + Соц + Сам, где \quad (5.8)$$

М - стоимость материалов и покупных изделий;

Эл - затраты на электроэнергию;

Z - заработка плата программиста;

Соц - отчисления на социальные нужды;

Сам - амортизационные отчисления

## 5.7 Общая стоимость

Суммируя рассчитанные параметры себестоимости проекта посчитаем общую стоимость.

Таблица 5.5 - Калькуляция себестоимости проекта

№ п/п	Статьи затрат	Величина затрат, руб.
1.	Материалы, покупные изделия	63500,00
2.	Электроэнергия на технологические цели	637,50
3.	Оплата труда	83929,62
4.	Отчисления на социальные нужды	25178,88
5.	Амортизационные отчисления	1666,50
	Итого	174912,50

Инд. № подл	Подпись и дата	Взам. инф №	Инд. № докл	Подпись и дата	Год/ признак
Изм.	Лист	№ докум.	Подпись	Дата	Лист 65

MP – 15.03.06 л3

## **6 Техника безопасности**

К занятиям на тренажерах допускаются работники (спортсмены, учащиеся) прошедшие инструктаж по охране труда и не имеющие медицинских противопоказаний.

При использовании тренажера должны соблюдаться правила технической эксплуатации, установленные режимы тренировок. Тренажер может быть использован только в предусмотренных для него целях.

Занятия на тренажере необходимо проводить в спортивной одежде и спортивной обуви с нескользкой подошвой. Запрещается заниматься на тренажере босиком.

При эксплуатации тренажёра необходимо соблюдать требования электробезопасности.

Тренажёр должен быть заземлён и закреплён таким образом, чтобы избежать его подвижности.

Следует не допускать возможность попадания влаги на тренажёр.

Обязательно необходимо, чтобы при эксплуатации имелась возможность его немедленной остановки нажатием на аварийную кнопку (рядом с ней всегда должен находиться человек).

Во время занятия на тренажере необходимо:

- быть внимательным, не отвлекаться посторонними делами, разговорами;
- заниматься строго по утвержденной программе без превышения допустимых нагрузок на организм;
- при выполнении упражнений соблюдать все необходимые требования личной безопасности и безопасности окружающих.
- не допускать попадания рук, ног в движущиеся узлы тренажера, а также посторонних предметов внутрь тренажера.

При возникновении неисправности тренажера (перебои в работе, искрение, появление посторонних звуков и запахов) прекратить тренировку,

Изм.	Лист	№ докум.	Подпись	Дата

МР – 15.03.06 Л3

Лист

66

<i>Инд. № подл.</i>	<i>Подпись и дата</i>	<i>Взам. инф. №</i>	<i>Инд. № подл.</i>	<i>Подпись и дата</i>	<i>Подпись и дата</i>	<i>Инд. № подл.</i>

отключить тренажер и сообщить об этом своему непосредственному или вышестоящему руководителю, представителям технических служб для принятия соответствующих мер.

Тренировку на тренажере можно продолжать только после устранения неисправности или его замены. Необходимо закрыть доступ к неисправному тренажеру других занимающихся.

При эксплуатации тренажера запрещается:

- заниматься без установленной спортивной формы и установленных защитных средств;
- устанавливать тренажер на неровной или мягкой поверхности;
- изменять угол наклона или высоту тренажера путем подкладывания под него посторонних предметов;
- допускать к эксплуатации тренажера посторонних лиц и лиц, не обладающих соответствующим уровнем спортивной подготовки;
- оставлять без присмотра работающий тренажер и электрооборудование;
- пользоваться неисправным и/или плохо закрепленным тренажером и неисправным электрооборудованием;
- пользоваться тренажёром при неисправностях сети напряжения;
- самовольно вносить изменения в конструкцию и изменять режимы эксплуатации тренажера;
- использовать тренажеры не по назначению;
- включать и выключать тренажёр влажными руками;
- пользоваться тренажёром в дождливую погоду.
- пользоваться тренажёром без контроля тренера.

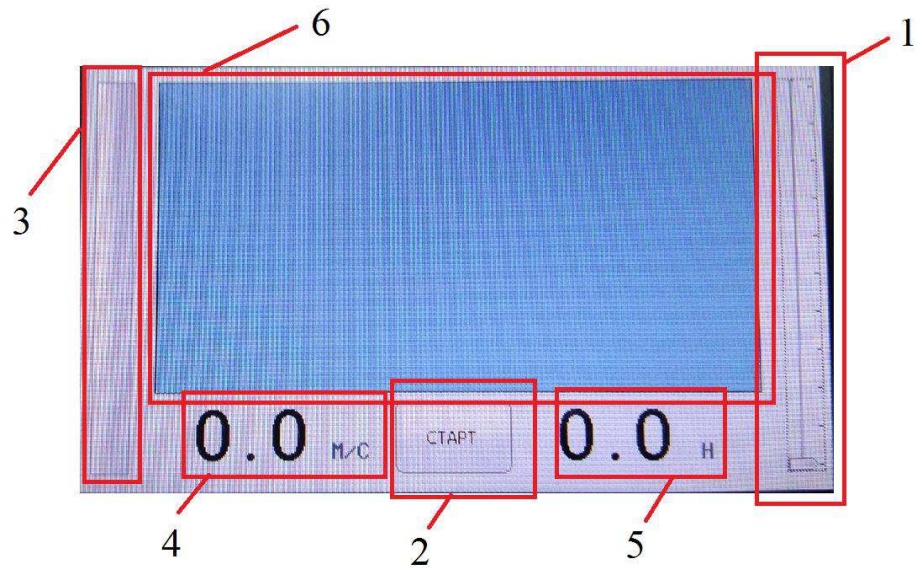
## 7 Руководство по эксплуатации

При эксплуатации тренажёра необходимо соблюдать следующий порядок действий.

Изм.	Лист	№ докум.	Подпись	Дата	MP – 15.03.06 ПЗ	<i>Лист</i> 67
------	------	----------	---------	------	------------------	-------------------

- Для приведения тренажёра в рабочее состояние необходимо закрепить тренажёр на неподвижном основании. Для закрепления тренажёра у основания «пирамиды» имеются 4 отверстия. Дальнейшие действия следует производить, убедившись, что тренажёр надёжно закреплён.
- Подать электропитание на тренажёр. Для этого необходимо присоединить кабель питания к источнику электроэнергии и убедиться в том, что автомат защиты взведён и кнопка аварийной остановки не нажата.
- После того как тренажёр закреплён и на него подано питание на табло сервопривода должно высветиться состояние «RUN». На циферблате преобразователя напряжения должно отображаться число близкое к «5.00». Также должен включиться дисплей контроллера, на котором находится пользовательский интерфейс.
- Если состояние тренажёра соответствует описанному в 3 пункте – можно приступать к тренировке. Для установки значения силы тяги используется ползунок в правой части дисплея (рисунок 7.1, 1). Перемещая его вверх и вниз необходимо установить желаемое значение силы тяги. Значение силы тяги отображается числом слева внизу экрана (рисунок 7.1, 5).
- После того как значение силы тяги установлено можно приступать к забегу. Для подачи команды на поддержание установленного значения силы тяги необходимо нажать на кнопку, которая располагается в нижней части посередине дисплея (рисунок 7.1, 2). После того как кнопка нажата начинается регистрация скорости бегуна. Текущая скорость будет отображаться в процентном соотношении от рекорда скорости в правой части экрана (рисунок 7.1, 3). Значение текущей скорости отображается в левой нижней части экрана (рисунок 7.1, 4). Изменение скорости во времени будет отображаться на графике посередине экрана (рисунок 7.1, 6) раз – показания предыдущей тренировки сбрасываются и начнётся регистрация новых показаний.

6. По завершении работы с тренажёром необходимо отключить питание.



1 – задание силы тяги, 2 – начало тренировки и регистрации данных (и затем остановка), 3 – скорость в % от рекорда, 4 – текущая скорость, 5 – текущая сила тяги, 6 – график скорости.

Рисунок 7.1 – Интерфейс пользователя

## ЗАКЛЮЧЕНИЕ

В процессе написания дипломной работы достигнуты поставленные цели и решены соответствующие задачи. Был проведён анализ объекта «спортсмен + тренажёр», в ходе которого составлена модель бега. Определены технические требования, из которых получены необходимые характеристики объекта и сформировано техническое задание. В соответствии с ним подобраны технические средства с соответствующими параметрами и функциями. Аппаратное обеспечение объединено в единую систему и соответствующим образом настроено. Выбранные технические средства и взаимодействие между ними реализовано в соответствии с описанием. Для микроконтроллера написана программа на языке С для обработки данных и реализации пользовательского интерфейса. Проведён экономический расчёт. Составлены правила эксплуатации. Итогом работы является собранный пилотный экземпляр тренажёра спринтерского бега.

Инд. № подл.	Подпись и дата	Бланк инф №	Инд. № подл.	Подпись и дата	Герб, приложен
Изм.	Лист	№ докум.	Подпись	Дата	MP – 15.03.06 л3
					Лист 70

## СПИСОК ИСПОЛЬЗОВАННЫХ ИСТОЧНИКОВ

1. Адаптация в спорте / Платонов В.Н. – К.: Здоров'я, 1988 – 216с.  
ISBN 5-311-00126-7.
2. Подготовка квалифицированных спортсменов – М.: Физкультура и спорт, 1986. – 286 с., ил.
3. Грузенкин В.И. Г 901 Выбор пути: тренер и десятиборье. монография. Литера-принт. Красноярск 2017. – 150 с.
4. Лавриненко Н.И. УДК 796.422.12.012.1-034.6 Автореферат: теория и методика физического воспитания и спортивной тренировки. Москва 1988.
5. Mc Dougall J.D., Sale D.G., Always S.E., Sultou J.R. Muscle fiber number in biceps brachii in bodybuilders and control subjects J Appl Physiol Respir Environ Exerc Physiol. 1984 Nov;57(5):1399-403.
6. Масальский, Геннадий Борисович. – Математические основы кибернетики [Текст] : учебное пособие / Г. Б. Масальский ; Сиб. федер. ун-т, Политехн. ин-т. - 3-е изд., перераб. и доп. - Красноярск : СФУ, 2018. - 381 с. : граф., схемы, табл. - Библиогр.: с. 378-380. - 100 экз.. - ISBN 978-5-7638-3628-8 : 708.00 р. - Изд. № 2017-304
7. STMicroelectronics [Электронный ресурс] : STMicroelectronics is a world leader in providing the semiconductor solutions that make a positive contribution to people's lives, today and into the future. – Режим доступа: <https://www.st.com/>
8. Руководство пользователя: AC Servo Drives Σ-II Series User's manual.

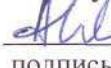
Инд. № подп.	Подпись и дата	Безим. инф №	Инд. № докл.	Подпись и дата	Подпись и дата	Лист	Лист
Изм.	Лист	№ докум.	Подпись	Дата	MP – 15.03.06 л3		71

Инд. № подл	Подпись и дата	Бланк подл №	Инд. подл №	Подпись и дата
Изм.    Лист    № докум.    Подпись    Дата				Лист
MP – 15.03.06 ПЗ				72

Федеральное государственное автономное  
образовательное учреждение  
высшего образования  
**«СИБИРСКИЙ ФЕДЕРАЛЬНЫЙ УНИВЕРСИТЕТ»**

Политехнический институт

Кафедра «Робототехника и техническая кибернетика»

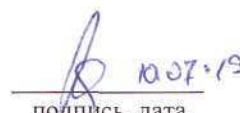
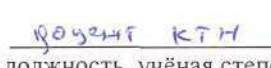
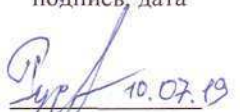
УТВЕРЖДАЮ  
Заведующий кафедрой  
  
A.N. Сочнев  
подпись  
« 11 » 07 2019 г.

## МАГИСТЕРСКАЯ ДИССЕРТАЦИЯ

Разработка и исследование систем приводов и ЧПУ

15.04.06 Мехатроника и робототехника

15.04.06.01 Технологии автоматизации и роботизации производства

Руководитель	 10.07.19 подпись, дата	 кандидат техн. наук должность, учёная степень	Г.Б. Масальский
Выпускник	 10.07.19 подпись, дата		Е.В. Русалеев
Рецензент	 10.07.2019 подпись, дата	 инженер-проектный инженер должность, учёная степень	А.А. Голуб

Красноярск 2019

Продолжение титульного листа БР по теме «Разработка и исследование систем приводов и ЧПУ»

Консультанты по разделам:

Модель бега с тренажёром как объект управления

Граф. кадр.  
Физ. культура  
Спорт

09.04.2019  
подпись, дата

В.И. Груzenkin

Нормоконтролёр

Музык  
подпись, дата

11.04.19.

В.Н. Куликова

Изм.	Лист	№ документ	Подпись	Дата

MP - 15.03.06 ПЗ

Лист

2